

TECHNIKA SAMOCHODOWA

CZASOPISMO TECHNICZNE POŚWIĘCONE ZAGADNIENIOM BUDOWY SAMOCHODÓW, MOTOCYKLI, SILNIKÓW LOTNICZYCH I DZIEDZINOM POKREWNYM.

WYDAWCA: KOŁO SAMOCHODOWE PRZY STOWARZYSZENIU TECHNIKÓW POLSKICH W WARSZAWIE
REDAKTOR: Inż. K. STUDZIŃSKI.



SKF ŁOŻYSKA KULKOWE i ROLKOWE

Spółka Akcyjna

Warszawa, ul. Wierzbowa Nr. 8.



BE - TE - HA

WARSZAWA, PL. TRZECH KRZYŻY 3

Wyłączne Przedstawicielstwo:

Państw. Wytw. Uzbrojenia (P. W. U.)
i innych.

Precyzyjne Narzędzia tnące

(gryzy, rozwiertaki, narzędzia gwintowe i t. d.)

Precyzyjne Narzędzia Pomiarowe

(sprawdziany, drobnomierze, suwmiarki, czujniki do cylindrów i wałów i t. d.)

Precyzyjne Obrabiarki

do obróbki metali, fabrykacji i remontu samochodów, silników lotniczych i t. d., szlifierek do cylindrów, wałów sterowych i korbowych i t. d.

TREŚĆ Nr. 3.

- F. I. A. T. przez S. M. 50 — 54
- Silniki lotnicze na XIII Salonie Paryskim — inż. B. Werner . . . 54 — 57
- Rozważania nad pracą szybkoobrotowego silnika wybuchowego dwusuwowego małej mocy — inż. O. Bobrowski 58 — 60
- Polska gąsienica bezsworzniowa — inż. Jan Łopuszewski 60 — 62
- Nadwozia o linjach aerodynamicznych — St. Witkowski 63 — 65
- Niklochromowanie części samochodowych — inż. Paweł Kosieradzki . 66 — 67
- O pewnym przypadku przedwczesnego zniszczenia wału korbowego . . 68 — 70
- Co mówią cyfry 70 — 72

ZAKŁADY MECHANICZNE I ODLEWNIA ŻELAZA

Inż. JAN ABRATAŃSKI i S-ka

W REMBERTOWIE

ZARZĄD WARSZAWA, UL. WSPÓLNA 30

TELEFON 815-92

PIERWSZA W KRAJU WYTWÓRNIA PIERŚCIENI TŁOKOWYCH DO SILNIKÓW LOTNICZYCH

wykonywa:

PIERŚCIENIE TŁOKOWE DO SILNIKÓW SAMOCHODOWYCH ORAZ PAROWYCH I INNYCH SPALINOWYCH

S. M.

F. I. A. T.

„Fiat“ — słowo, którego Gabriel D'Annunzio wśród z. Rzymianami używa jako synonimu woli i twórczości („niechaj się stanie“) — jest dzisiaj jako marka fabryczna jednym z najpopularniejszych w świecie dzięki zwycięstwom odniesionym na torach wyścigowych Ameryki i Europy, w raidach turystycznych oraz przy ustalaniu licznych rekordów w powietrzu i na morzu.

dysponowania coraz to większym zasobem płynnych funduszy.

Dzisiaj firma Fiat jest to całkowicie samowystarczalny organizm przemysłowy, zarówno w dziale mechanicznym jak i metalurgicznym, dzięki czemu może ona przeprowadzić własnymi środkami całkowity proces produkcji, poczynając od przerabiania surowców a kończąc na fabryka-



Ogólny widok fabryki.

Dzięki swym 20 wytwórniom w Turynie i innych miastach włoskich, swym oddziałom w Italji i zagranicą pokrywającym ogółem 20 milionów mtr. kw., dzięki swym 35 tysiącom robotników i swej organizacji handlowej rozwiniętej we wszystkich częściach świata, — stała się firma Fiat po 30 latach swego istnienia wyrazem potęgi przemysłowej nowej Italji.

„Fabbrica Italiana Automobili Torino“ — stąd nazwa FIAT — była pierwszą fabryką samochodów we Włoszech, a jedną z pierwszych w Europie. Założona ona została dnia 11 lipca 1899 r. przez nieliczną grupę ludzi idei, wśród których zwracał uwagę Giovanni Agnelli: administrator firmy od chwili jej założenia, a prezydent Fiat'a od 29 listopada 1920 r.

Początkowy kapitał zakładowy wynosił 800.000 lirów, ale nieustanny rozrost firmy zmusił, począwszy od 1906 r., do ustawicznego powiększania kapitału zakładowego, ze względu na konieczność

cji maszyn i gotowych produktów. Fiat produkuje wszelkie maszyny służące do transportu lądowego, powietrznego i morskiego.

Kapitał zakładowy — pierwotnie 800.000 lirów — wynosi dzisiaj 400 milionów lirów. Miał 50 robotników, zatrudnionych w pierwszym zakładzie Fiat o powierzchni 10.000 mtr. kw. — pracuje ich dzisiaj 35.000, przyczem powierzchnia pokryta przez zakłady własne lub związane z firmą przekracza 20 milionów mtr. kw.

Wśród licznych fabryk i zakładów, stworzonych lub wykupionych przez Fiat'a, na pierwszy plan wysuwają się: „Fabbrica Italiana Magneti Marelli“ w Medjolanie. „Officine Villar Perosa“ w Turynie i w Villar Perosa, „Societa Piemontese Automobili SPA“ w Turynie, Societa Piemontese Automobili Ceirano“ w Turynie. Niemniej przeto najważniejszym i największym działem produkcji firmy Fiat jest Fabryka Samochodów marki „Fiat“.

Samochód „Fiat“ jest wytwarzany w Lingotto. Lingotto jest to nazwa jednej z dzielnic Turynu, położonej niegdyś poza granicami miasta. Ta wspaniała fabryka jest jedną z najbardziej oryginalnych w Europie i składa się z olbrzymiego kompleksu budynków żelbetowych, rozciągniętych na przestrzeni 1 klm. Ogólna powierzchnia użytkowa wszystkich pięter wynosi przeszło 300.000 mtr. kw.

Rozlokowane w tych budynkach warsztaty produkują każdy pewną grupę części składających

można się dostać samochodem na wszystkie piętra budynku zakładów Lingotto.

Główny gmach fabryczny zakładów w Lingotto jest arcydziełem budownictwa żelbetowego. Wzniesiony w 1917 r. mierzy on 400 mtr. długości przy 80 mtr. szerokości i posiada 5 pięter roboczych. Nie ta wszakże — bezsprzecznie bardzo oryginalna-konstrukcja oraz ciekawe rozplanowanie gmachu, równie jak i bardzo poważna, bo sięgająca kilkuset wozów dziennie, produkcja Fiat'a uprawniają do stawiania zakładów w Lin-



Autostrada na dachu fabryki.

się na całe samochody. Praca każdego warsztatu odbywa się według zgóry i ściśle opracowanego planu przy zastosowaniu systemu łańcuchów produkcyjnych, będących stale w ruchu i transportujących części na stanowiska montażu zespołów oraz zespoły na stanowiska montażu końcowego.

Kolejne stadja produkcji odpowiadają coraz to wyższym piętrům budynków fabrycznych. Na przedostatniem piętrze odbywa się montaż końcowy: podwozia i nadwozia, przybywające ze swych własnych linii montażowych, są tu składowane i wykańczane. Wykończony w ten sposób samochód wznosi się na ostatnie piętro, na którym urządzony jest tor próbny. Szeroki, o podniesionych wirażach, zawieszony na wysokości 30 mtr. nad ziemią na dachu fabryki, tor ten pozwala na osiągnięcie szybkości 120 klm. na godzinę. Dzięki dwóm szerokim ślimakom, z których jeden przeznaczony jest do wjazdu a drugi do zjazdu,

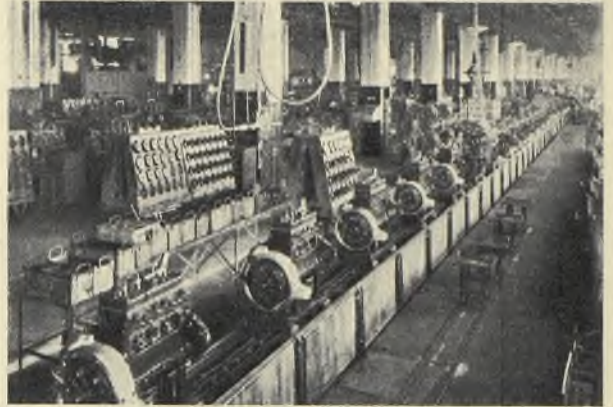
gotto za wzór nowoczesnej fabryki samochodów. Wszak niejedna marka samochodowa, zwłaszcza w Stanach Zjednoczonych A. P., poszczycić się może gmachami fabrycznymi o wiele potężniejszymi i produkcją wielokrotnie większą. Punkt ciężkości leży tu we wspaniałej, swoistej organizacji pracy, wzbudzającej podziw w każdym fachowcu, który miał możność zapoznać się z zakładami w Lingotto.

Jak wiadomo firma Fiat pokrywa niemal całkowite zapotrzebowanie Italji na samochody. Można powiedzieć, że „Fiat“ jest dziś synonimem włoskiego samochodu. Z natury rzeczy zatem produkcja zakładów Lingotto przedstawia się w formie samochodów popularnych, stosunkowo niedrogich i produkowanych masowo. Z tych to względów upodobniła się ona w ostatnich latach do produkcji amerykańskiej; w tym stanie rzeczy kierownicy zakładów Fiat'a postanowili zaczerpnąć wzory z Ameryki. Nic w tem dziw-

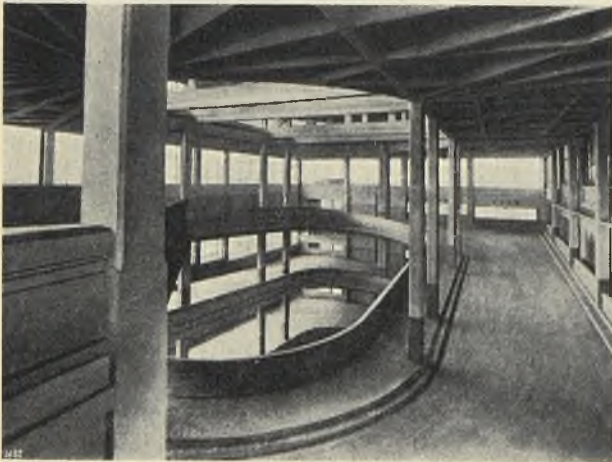
nego niema, wszak uczyniło to samo wiele innych europejskich fabryk samochodów, — wzbudza natomiast podziw umiejętność, z jaką amerykańskie metody produkcji zostały w Lingotto przystosowane do miejscowych warunków, co w rezultacie wytworzyło tę wspaniałą organizację fabryki. Organizację tę, stworzenia której wymagała w pierwszym rzędzie konieczność utrzymania niskich cen przy jednoczesnym polepszeniu jakości produkcji — wprowadzono z żelazną konsekwencją do wszystkich działów fabryki. Obejmuje ona całość prac warsztatów i biur i wnika w najdrobniejsze szczegóły życia na terenie fabryki, co nadaje jej charakter niemal wojskowy i dla cudzoziemca zwiedzającego fabrykę wydać się może uciążliwą. Dla miejscowych jednak pracowników jest ona rzeczą zupełnie naturalną, od szeregu lat już bowiem w twardej szkole faszyzmu naród włoski przywykł do karności.

Zasadniczą cechą tej Fiat'owskiej organizacji jest staranne opracowanie planu produkcji, a co zatem idzie — ściśle określenie momentu, miejsca

widzi się ludzi zajętych pilnie widoczną i ściśle określoną pracą. Każdy idący rzuca się w oczy: może to być albo zwiedzający, albo jakiś pracownik służby administracyjnej, przyczem w tym wypadku poznać można od razu jego przynależ-



Montaż silników.



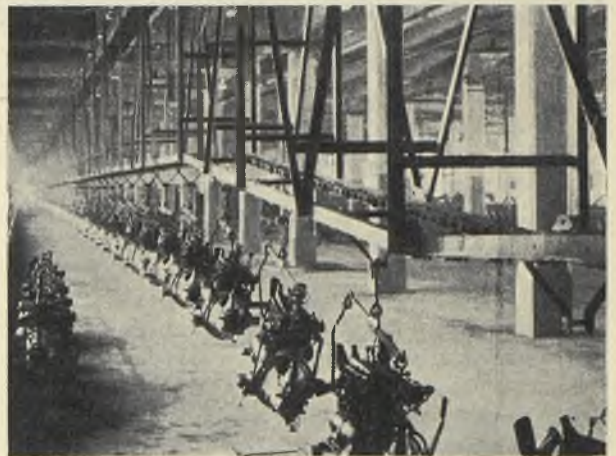
Slimak wjazdowy.

i czasu trwania każdej najdrobniejszej czynności. Miarą znaczenia, jakie przywiązuje Dyrekcja firmy do właściwego opracowania planu produkcji, tak zewnętrznego w przystosowaniu się do aktualnych możliwości i potrzeb rynku, jak i wewnętrznego — odnośnie realizacji powziętego programu produkcji i wewnętrznej organizacji pracy, jest fakt istnienia specjalnego „Biura Programowego („Ufficio Programmazioni“), liczącego w normalnym czasie (obecnie firma Fiat przechodzi wraz z całym światem ostry kryzys) około 30 pracowników.

Rezultaty umiejętnego rozplanowania produkcji rzucają się w oczy każdego zwiedzającego zakłady w Lingotto. Przy wejściu na teren fabryki nie widzi się prawie żadnego ruchu personelu na drogach komunikacyjnych. Obserwując gmachy fabryczne zewnątrz lub z jednego z czterech dziedzińców wewnętrznych, możnaby przypuścić, że fabryka jest nieczynna. To samo wrażenie odnosi się przy wejściu do poszczególnych warsztatów. Dopiero po wejściu do wnętrza biur i warsztatów i rozejrzeniu się na prawo i lewo z biegnącej środkiem szerokiej arterji komunikacyjnej,

ność służbową i stopień, każdy bowiem pracownik fabryki zaopatrzonej jest w znaczek określonego kształtu i koloru. Zresztą niewielka tylko ilość pracowników ma prawo wydalać się poza oznaczony rejon, przyczem wstęp do niektórych warsztatów dostępny jest jedynie dla pewnej kategorii pracowników, jak również i używalność licznych dźwigów osobowych. Pracownicy ci są w tym celu zaopatrzeni w specjalne klucze otwierające drzwi warsztatów i dźwigów.

W zakładach w Lingotto nie widzi się nigdy bieganiny i pośpiechu. Jeżeli okaże się jakaś nagłość w robocie, to jest ona natychmiast zbadana przez odpowiednie czynniki celem wykrycia, czy przypadkiem nie kryje ona w sobie jakiejś poważniejszej wady w procesie produkcji, którą należy usunąć. Widać stąd, że rozplanowanie



Transport silników ze stanowisk montażowych.

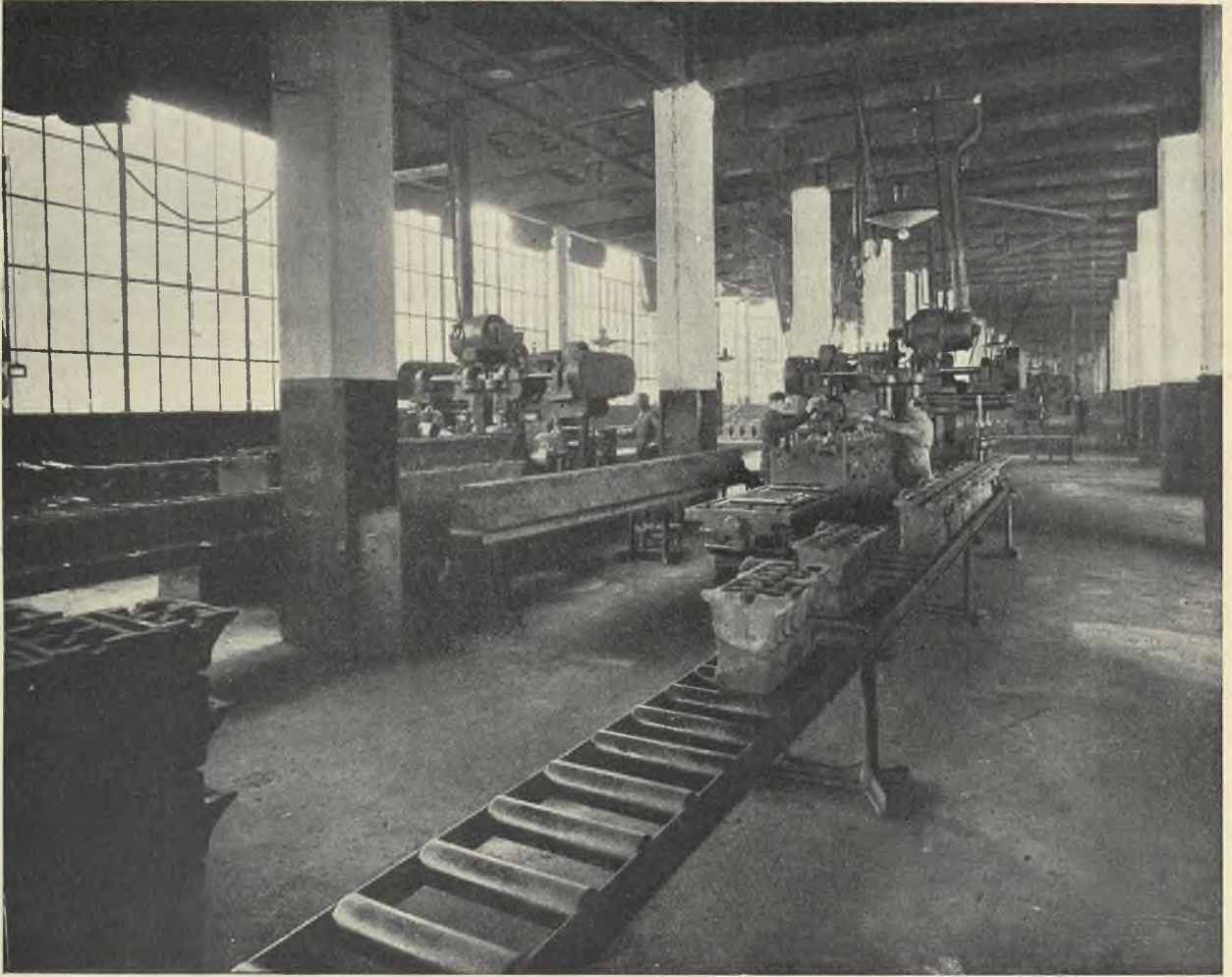
robót opracowywane jest bardzo dokładnie i stanowi jedno z najpoważniejszych zagadnień produkcji.

Organizacja Fiat'a przejawia się bardzo wyraźnie w procesie dostarczania materiałów na stano-

wiska pracy, które odbywa się według zgóry opracowanego ścisłego „rozkładu jazdy“ urządzeń transportowych. Te urządzenia transportowe posiadają swoją jakgdyby „dyрекcję komunikacyjną“, najzupełniej niezależną, otrzymującą zlecenia dostawy i niezwykle skrupulatnie przestrzegającą terminów. Wewnętrzny plan dostawy — sporządzony na podstawie zdolności przewozowej środków transportowych i potrzeb wynikających z zamówienia — opracowany jest tak dokładnie, że zaobserwować można przebiegające stale o pewnych godzinach jakgdyby pociągi towarowe.

niejszych problemów, które się jej udało w ostatnich czasach pomyślnie rozwiązać. Wszelkie bowiem gromadzenie materiału w nadmiernych ilościach jest równoznaczne z zamrażaniem kapitału, czego firma Fiat unika jako jednego z najbardziej niepożądanych zjawisk. Niebezpieczeństwa niedostarczenia materiału na czas unika się przez zawarowanie terminowości dostaw surowymi rygorami i kaucjami pieniężnymi.

Jednym z działań, w których najjaskrawiej przejawia się amerykański charakter organizacji fabryki, zawierający w sobie dążność do oszczęd-



Obróbka bloków cylindrowych.

W niektórych działach fabryki (np. kuźnia) dostawa materiałów następuje na pół godziny przed wyczerpaniem się poprzedniego zapasu bez potrzeby komunikowania się z magazynem, przyczem zapas materiałów przy maszynach wystarcza często zaledwie na kilka godzin. Dowodzi to niesłychanie precyzyjnego opracowania i rozwiązania zagadnienia dostarczania materiału.

Niewielkie ilości zapasów przy obrabiarkach są spowodowane niewielkimi ilościami materiałów surowych w magazynie, odpowiadających — zależnie od trudności otrzymania ich na rynku — 2—15-dniowemu zapotrzebowaniu. Firma Fiat bowiem uważa zredukowanie do minimum zapasu magazynowych materiałów za jeden z najważ-

ności czasu i pieniędzy — jest magazyn surowych odkuć i odlewów. Po przeprowadzeniu obróbki termicznej oraz po oczyszczeniu, odkucia i odlewy składane są do specjalnych skrzyń, przystosowanych do chwytania przez dźwigi celem transportowania do stanowisk pracy. Każda skrzynia zawiera ściśle określoną ilość sztuk, dzięki czemu unika się papierowego rachunku oraz ręcznego liczenia. Wewnętrzne urządzenie samego magazynu składa się ze skrzyń napełnionych surowcem, które stanowią regale magazynu. Dzięki temu magazyn taki może być bardzo łatwo zwinięty i przeniesiony w inne miejsce, przyczem koszt demontażu równa się kosztowi normalnego transportu. Zaletą tego systemu jest duża łatwość w

przystosowaniu się do zmiennych warunków produkcji, wadą zaś — małe wyzyskanie wysokości magazynu. Wada ta jednak nie daje się we znaki ze względu na małe zapasy magazynowych przez firmę Fiat materiałów.

Tę samą dążność do oszczędzenia czasu i upraszczania manipulacji zauważyć można przy wyrobie drobnych części, wykonywanych z pręta, jak np. śruby, nakrętki ect., które po wykonaniu na obrabiarkach automatycznych oddawane są na wagę na montaż zespołu. Rejestracja wagowa tych części jest dość dokładna, a administracja tej rejestracji — znikoma. Straty powstałe wskutek niedokładności ilościowych są tak małe, że oszczędzone przez to koszty stosowanej gdzieindziej dokładniejszej administracji wielokrotnie je przewyższają. Jeżeli wziąć pod uwagę, że ilość części poza wyrabianiami z materiałów prętowych jest zawsze mniejsza i łatwiejsza do opanowania ilościowego — to widać jak dalece system ten redukuje liczbę zatrudnionego w administracji personelu a tem samem usprawnia ją.

Jasnym jest, że największe trudności przy wprowadzaniu tej nowoczesnej organizacji napotkała firma Fiat w opracowywaniu przebiegu materiału po fabryce. Aby wyrobić sobie ogólne pojęcie o tym skomplikowanym procesie, należy naprzód

wiedzieć, jaką drogę pod kątem widzenia ciężaru odbywa materiał. Na pierwszy rzut oka zdawaćby się mogło dziwnem, że na parterze budynku fabrycznego odbywa się nie tylko obróbka najcięższej części silnika t. j. bloku cylindrowego, ale również obróbka wszelkich odkuć i odlewów. Jest to spowodowane tem, że budynek w Lingotto składa się z parteru i czterech pięter. Aby więc uniknąć niepotrzebnego transportowania materiału z naddatków do obróbki, znajdujących się na odkuciach i odlewach, zrzuca się ten balast na dół i transportuje się już do góry na pierwsze piętro ciężar zmniejszony o ca. 25%.

Na pierwszym piętrze redukuje się ciężar znowu o jakieś 5% i transportuje na piętro drugie, gdzie zdejmuje się resztę materiału, tak, że na ostatnie piętro dostarcza się tylko ciężar netto części składowych samochodu, który po wykończeniu zjeżdża z czwartego piętra po równi pochyłej własnym ciężarem do ekspedycji.

Zdawaćby się mogło, że podnoszenie ciężarów w kierunku pionowym jest nieekonomiczne w swem założeniu, choćby było zaprojektowane jak najracjonalniej, — okupuje się jednak tą stratą rozpiętością obszaru produkcji, co daje znaczne zyski, przewyższające straty poniesione na transporcie ciężarów.

d. c. n.

Inż. B. Werner

Silniki lotnicze na XIII Salonie Paryskim

(Ciąg dalszy).

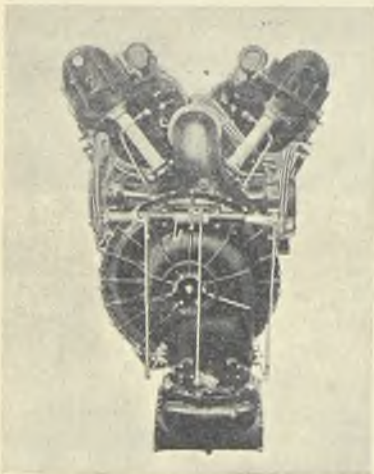
Przechodząc do silników angielskich pierwszą rzeczą, która się rzuca w oczy jest to, że oprócz 2 silników Rolls-Royce'a i niewystawionego „Napier'a“, wszystkie pozostałe są chłodzone powietrzem.

Silniki o dużej mocy i przeznaczone do pracy na wysokości są wszystkie zaopatrzone w sprężarki, przytem te same silniki są w wielu wypadkach wykonywane również bez sprężarek, do pracy na mniejszych wysokościach.

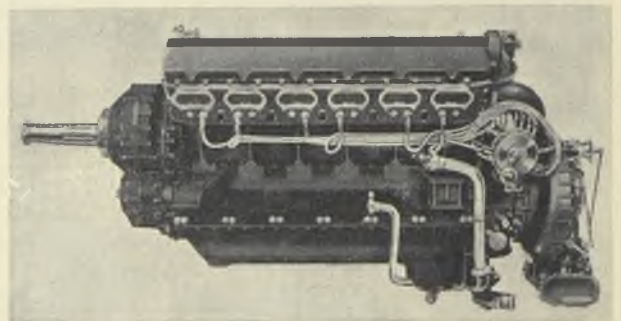
Rolls-Royce skromnie wystawia swoje 2 silniki: „Kestrel” i „Buzzard”, oba 12-tó cylindrowe V. „Kestrel II S” o mocy A 86/590 KM obroty 2250/

2700 o pojemności cylindrów 21 l. i sprężania 6 : 1 zasilany pod ciśnieniem, ze śmigłem napędzanem przez przekładnię o zębach czołowych. Rolls-Royce, stosując tę przekładnię, unika wpływu na wał sił żyroskopowych śmigła, które męczą mater-

jał. Silnik „Buzzard II MS” o mocy 836/935 KM obroty 2000/2300 pojemności 36,2 l. stosunek sprężania 5,5 : 1. Jako dalszy rozwój silnika tego został wykonany silnik typ „R” o mocy 2600 KM, który na wodnopłacie Supermarine SVI pobił rekord światowy szybkości i zdobył ostatecznia dla Anglii puhar Schneider'a w roku 1931. Niech za ocenę tych silników starczy fakt, że parę miesięcy temu, po oficjalnej próbie, ustalono, że czas pracy tych silników do 1-ego remontu przedłuża się z 400 godzin dawniej obowiązujących, do 500 g.,

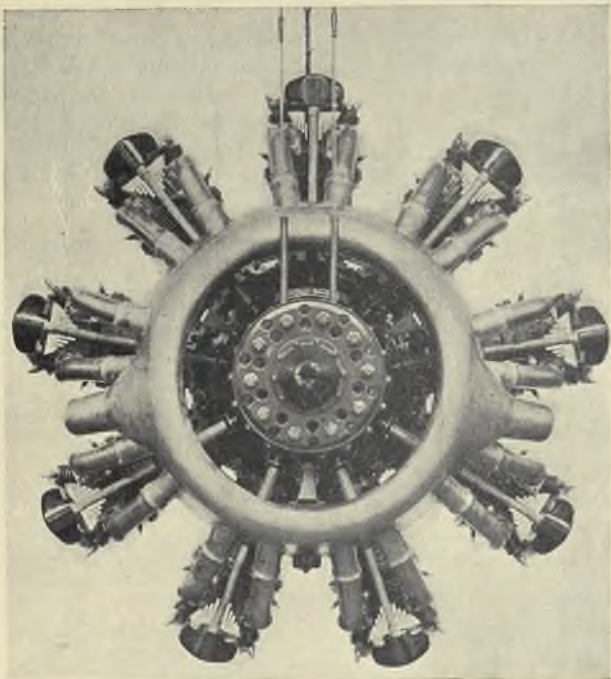


Silnik Rolls-Royce „Buzzard”.



Silnik Rolls-Royce „Buzzard”.

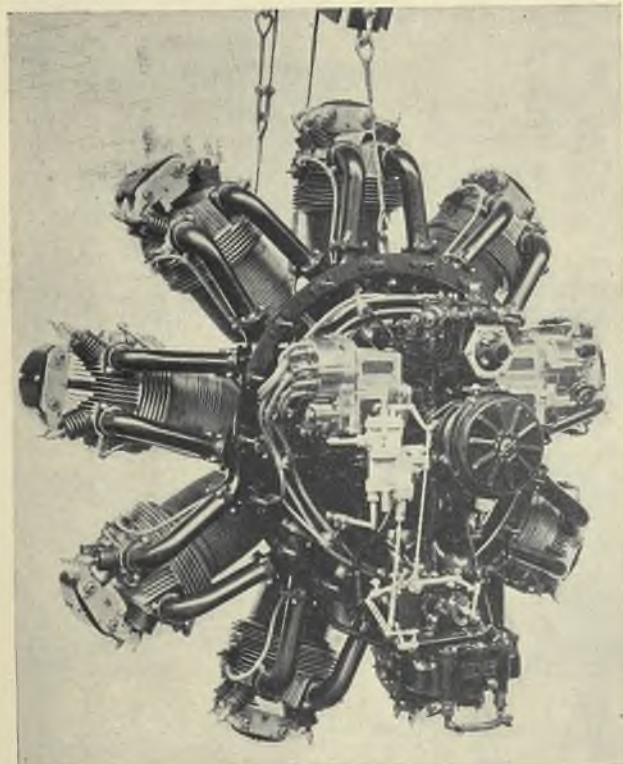
ze względu na to, że koszt remontu i części zamiennych nawet po tym czasie wynoszą zaledwie 4% ceny nowego silnika. Łożyska kulkowe, które Rolls-Royce wyrabia w swojej fabryce, gdyż żadna z istniejących firm nie wykonywa ich dość



Silnik „Bristol” — Pegasus z kolektorem.

dokładnie, wykazały po 500 godzinach pracy zużycie 0,02 mm. Komentarze są chyba zbyt liczne.

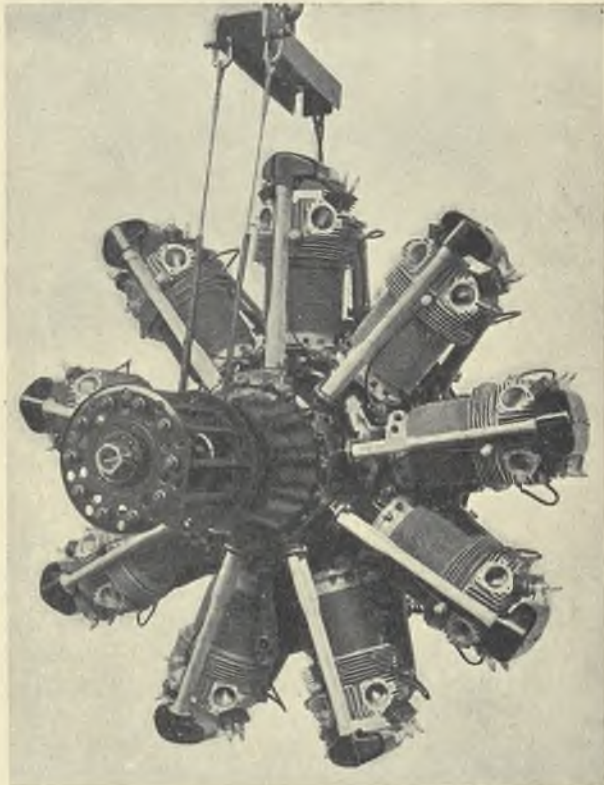
„Bristol“ Aeroplane Co. Ltd. wystawia swoje 2 nowe modele „Pegasus“ i „Mercury“ i posiada 2



Silnik „Bristol” — Pegasus.

stoiska: jedno dla płatowców, drugie dla silników. Ze zdziwieniem konstatuje się fakt, że firma ta nie wystawia już swego słynnego „Jupitera“, który był wykonywany z licencji przez całe

szeregi państw, a między innymi i przez Polskę. Dziś jego miejsce zajął „Pegasus“. Silnik ten ma te same zasadnicze wymiary cylindrów co „Jupiter“ t. j. 146×190 mm, jednak różni się od niego znacznie w budowie. Przedewszystkiem zmieniono napęd rozrządu, który był raczej skomplikowany u „Jupitera“. Powierzchnia chłodząca cylindrów została zwiększona z $0,8 \text{ m}^2$ na $1,17 \text{ m}^2$ (dla jednego cylindra), a więc prawie o 50%. Cały rozrząd wraz z drążkami zaworowymi został starannie osłonięty i oprofilowany, rury wlotowe podwójne nie łączą się w jedną, a oddzielnie dochodzą do cylindrów od komory sprężarki. Przewidziany jest napęd generatora wprost od silnika, przy pomocy wałka giętkiego. Ciekawym szcze-



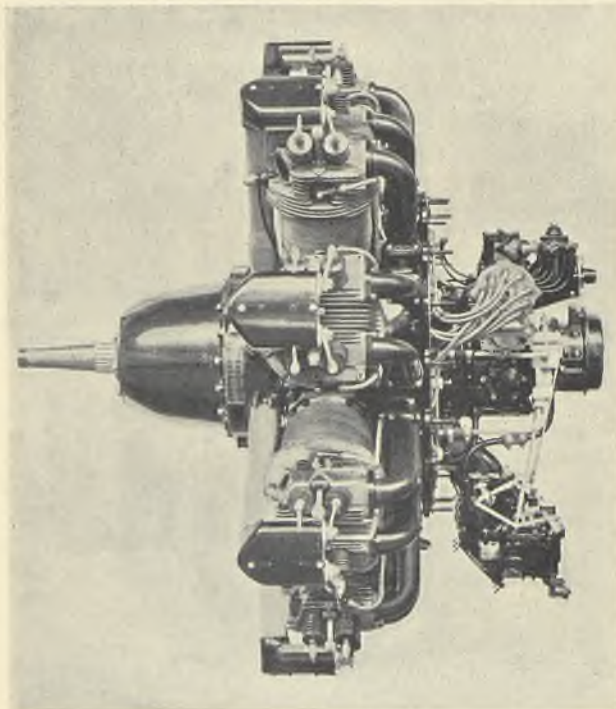
Silnik „Bristol” — Pegasus.

gólem jest urządzenie pozwalające na dodatkowy zastrzyk smaru przed zapuszczeniem silnika. Na ogół, przed daniem silnikowi pełnych obrotów, należy go parę minut pogrzać na małym gazie, zwłaszcza w zimie, gdy smar jest gęsty. Bristol przez dodatkowy zastrzyk uniknął tego i silniki mogą nawet przy niskich temperaturach przejść na pełne obroty zaraz po zapuszczeniu. Jest to duża zaleta, zwłaszcza dla silników stosowanych do samolotów wojskowych.

„Pegasus“ może być wykonany z dwoma różnymi reduktorami i 3-ma stopniami zasilania, mianowicie: zasilanie normalne, zasilanie przy użyciu mieszadła wreszcie zasilanie pod ciśnieniem. Taka różnorodność sposobów zasilania pozwala na stosowanie tych silników zarówno na maszynach wojskowych, pracujących na dużych wysokościach, jak i na samolotach pasażerskich i komunikacyjnych. Na stoisku wystawione były Pega-

sus S2 i Merkury SIV oraz „Pegasus“ przekrajany i napędzany motorkiem elektrycznym; pozatem w gablotkach leżały poszczególne części silnika.

Drugim, poraz pierwszy wystawionym był silnik „Merkury SIV“. Silnik ten przeszedł homologację dopiero w 1931 roku, mając pojemność



Silnik „Bristol”—Pegasus.

cylindrów zaledwie 24,5 l daje on moc 548 KM, a maksymalnie 568 KM przy 2600 obr./min. na wysokości nominalnej 4850 m. Silnik ten na wystawie był wbudowany również do płatowca „Bristol Bulldog“, pościgowej jednomiejscówki. Warto wspomnieć niektóre szczegóły tego zabudowania. Kolektor spalin umieszczony jest z przodu silnika, tak że rury wydechowe nie są wygięte do tyłu, tylko idą wprost do niego bez ostrych wygięć. Kolektor ten pozwala na otrzymanie lepszej wydajności silnika, unikając dławienia spalin przez zmniejszenie temperatury, a tem samym i ich objętości. Pierścień zewnętrzny okalający silnik (pierścień Townenda) jest ciekawy z tego powodu, że w nim umieszczona jest chłodnica smaru. Brzeg wewnętrzny pierścienia jest ukształtowany w formie profilu lotniczego, który tworzy z zewnętrznej strony blacha, z wewnętrznej płaski pierścień, stanowiący chłodnicę, przez którą przepływa smar.

Opis tych silników nie byłby zupełny, gdyby nie wspomnieć o specjalnych próbach, którym zostały one poddane po homologacji. Wobec tego, że silnik Merkury SIV zasilany jest pod ciśnieniem, próby przeprowadzono przy otwartej przepustnicy, tak że maksymalne ciśnienie w rurach ssących dochodziło do 480 mm. Hg.

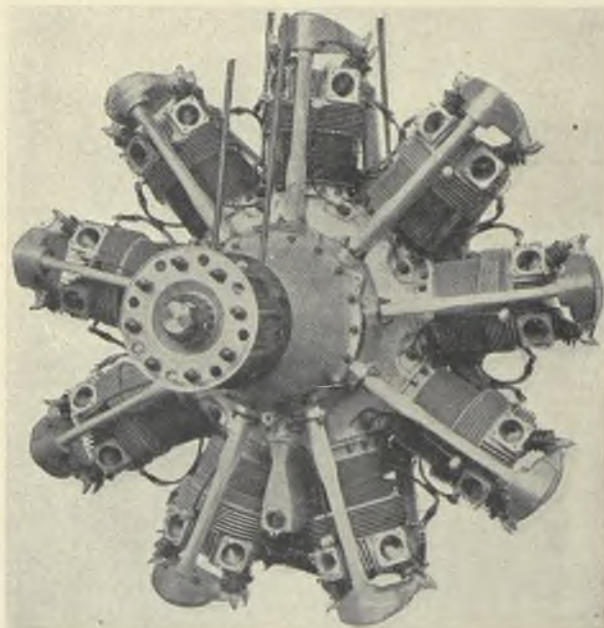
Próby zaczęto krzywą pełnego gazu od 1800 do 2600 obr./min., następnie określono krzywą dławienia do 2475 obr./min. Próby polegały na 2 o-

kresach godzinnej pracy, przy obrotach nominalnych 2250 obr./min. i 90% otwarcia przepustnicy, przyczem każdy okres kończono próbą 5 minutową na pełnym gazie. Użyto benzyny według specyfikacji angielskiej D. T. D. z dodatkiem ok. 2,2 cm³ czteoretylku ołowiu na gallon (4,6 l.) co odpowiada wartości liczby oktanowej około 85. Smar również według specyfikacji D. T. D.

Przy maksymalnych obrotach 2600 obr./min. i ciśnieniu 480 mm. Hg. moc wyniosła 905 KM. Szybkość wiatru w tunelu 193 km/godz, a więc stosunkowo mała, natomiast temperatura głowicy wyniosła 224° i to pod świecą. Zużycie paliwa około 240 gr. na KM/godz. Przy normalnych obrotach 2250 obr./min. moc wyniosła 784 KM, przy 2475 obr./min. moc wyniosła 864 KM. Zaznaczyć trzeba, że każdy silnik „Bristol’a“ czy to „Merkury“, czy „Pegasus“, może przez 5 minut pracować na maksymalnych obrotach przekraczających 15% obroty normalne, t. j. 2600 obr./min.

Następnie, nie zmieniając regulacji gaśnika, puszczono silnik na 2 godziny przy 703 KM, co odpowiada 90% mocy na pełnym gazie przy normalnych obrotach. W końcu każdej godziny silnik pracował po 5 minut na pełnym gazie i temperatury głowicy wynosiły: pod świecą 231°, pod rurą wlotową 190°. Wykonano następnie 4 próby przejść i zrywów, przyczem obroty wahały się od 475 obr./min. do 2250 obr./min. Próby były zadawalające, mimo że regulacja gaśnika nie była zmieniana po próbach mocy maksymalnej.

Podczas prób wyżej opisanych nie zmieniano



Silnik „Bristol” — Mercury IV.

żadnych części silnika, a po rozebraniu go, stan okazał się pierwszorzędny. Jeżeli teraz uprzytomnimy sobie, że próby te przeszedł silnik chłodzony powietrzem, to widzimy jak duży uczyniono postęp w budowie tego typu silników.

Na wystawie dowiedziałem się pozatem, że ostatnio silnik „Merkury“ poddany został jeszcze

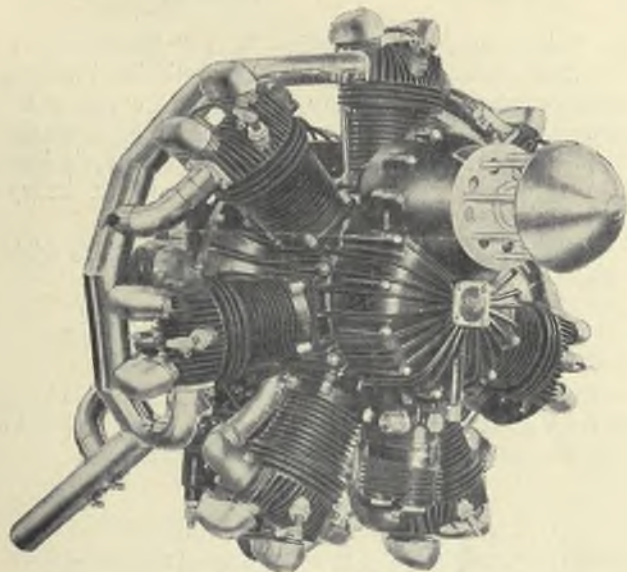
jedrej próbie, z której wyszedł zwycięsko, mianowicie próbie nadobrotów; silnik pracował przez 10 godzin przy obrotach 2700 i nadciśnieniu w rurach ssących, wynoszącym 0,1 atmosfery, dając pozatem moc około 700 KM. Próba ta była robiona w tym celu, żeby zbadać jak silnik będzie się zachowywał w razie pikowania na pełnym gazie (full paoer dive).

Reasumując wszystkie próby silnika „Mercury“, widzimy jaki posiada on kolosalny zapas mocy i możemy sobie wyobrazić, jak ekonomicznie pracuje pod względem zużycia części.

Potężną grupę silników gwiazdowych, chłodzonych powietrzem wystawia „Armstrong Siddeley“. Od 80-cio konnego „Genet’a“ do 800 konnego „Leoparda“ o 14-tu cylindrach w formie podwójnej gwiazdy. Wiele z tych silników ma wymienne cylindry i tworzą one parę grup. Zaleta ta jest bardzo ważna zwłaszcza wtedy, gdy musimy używać silników o różnej mocy, gdyż zapas części zamiennych zmniejsza się znacznie, a tem samem i koszt utrzymania silników. Ciekawym szczegółem konstrukcyjnym tych silników są siedzenia zoworowe z metalu Monela, który doskonale wytrzymuje wysokie temperatury spalin.

Wszystkie silniki mają ten sam stopień sprężania 5:1, za wyjątkiem nowo zbudowanego 600 KM „Tigera“, który ma 5,2:1. Stoisko „Armstrong Siddeley Motors Ltd.“ było na wystawie największym stoiskiem angielskim, bo też i fabryka ma do wystawiania aż 11 typów silników. Najlepiej z nich znany w Polsce jest 7-mio cylindrowy, 140 konny „Genet Major“ gdyż był wbudowany na zwycięskim R. W. D. 6.

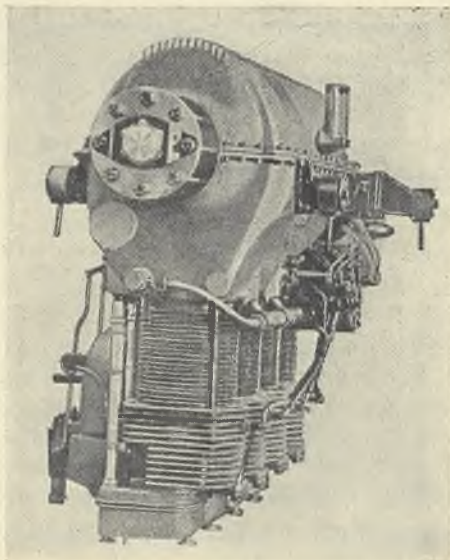
Nie wystawiony na własnym stosku, a bardzo



Silnik Pobjoy

ciekawy w konstrukcji, jest silnik „Pobjoy“, najmniejszy wśród silników angielskich. Stanowi on odrębną klasę sam dla siebie. Jest to 7-mio cylindrowy silnik chłodzony powietrzem, o pojemności ogólnej cylindrów zaledwie 2,8 l., daje on przy 3300 obr./min. moc dochodzącą do 85 KM.

Niezmiernie precyzyjny w swej budowie, która jest zwarta i lekka, daje on dużą gwarancję bezpieczeństwa mimo swych wysokich obrotów. Reduktor o zębach helikoidalnych pracuje bardzo cicho. Fabryka skonstruowała kolektor spalin który montuje na każdym silniku seryjnie.



Silnik Hermes IV — 120/130 KM.

Na wystawie jeden z takich silników był zamontowany na autożyro francuskiej budowy, dwa inne na angielskiej awjonetce „Monosper“.

Na stoisku „Société Anonyme Française Aeronautique“ wystawiono silniki Cirrus-Hermes Engineering Co. Ltd. Najciekawszym jest „Hermes IV“, w którego konstrukcji wiele jest interesujących szczegółów.

Silnik ten jest 4-ro cylindrowy, chłodzony powietrzem, o cylindrach odwróconych do dołu.

Moc jego nominalna 120 KM przy 2000 obr./min. daje maksymalnie 140 KM przy 2200 obr./min. Cylindry są żeliwne, lane odśrodkowo wraz z żeberkami, przyczem odlew jest wyjątkowo czysty. Głowica aluminiowa ze stopu R. R. posiada gniazda zaworowe brązowe zamienne. Górna pokrywa karтеру wykonana jest z elektronu. Korbowody stalowe dają dużą gwarancję wytrzymałości przy zwiększeniu wagi o 500 gr. na każdej sztuce, mimo tego waga tego silnika jest taka sama jak „De Hawilland Gipsy III“ gdyż ten ostatni posiada w swym najnowszym modelu, zresztą nie wystawionym, głowice brązowe, które znacznie zwiększają jego ciężar. De Hasiland zastosował bronz dlatego, że głowice aluminiowe odkształcały się nadmiernie i często pękały. Cirrus wobec tego wykonał głowice ze stopu R. R., który również daje dużą gwarancję wytrzymałości, a temperatura głowicy utrzymuje się przytem w granicach 220—230°, podczas gdy głowica brązowa rozgrzewa się do 380°. Silnik posiada 2 pompki smarowe, z których jedna pompkuje świeży smar ze zbiornika do karтеру, druga wypompkuje zeń smar zużyty.

(c. d. n.)

Inż. O. BOBROWSKI

Rozważania nad pracą szybkoobrotowego silnika wybuchowego dwusuwowego małej mocy

(dokończenie)

Aby powiększyć moc i polepszyć sprawność silnika należy rozpatrzyć od czego te wielkości zależą. Poza tym trzeba zanalizować poszczególne straty, aby móc wpłynąć na ich zmniejszenie.

Ogólnie moc efektywna silnika spalinowego dwusuwowego wyraża się:

$$N_e = \frac{\pi D^2}{4} \cdot \frac{2 S n}{60} \cdot p_i \cdot \eta_m \cdot \frac{z}{2} \cdot \frac{1}{75} \text{ KM}$$

gdzie D — średnica tłoka w cm.

S — skok w m.

n — liczba obrotów na minutę

p_i — średnie indikowane ciśnienie w cylindrze w kg/cm^2

η_m — sprawność mechaniczna

z — ilość cylindrów.

Wzór ten można przedstawić inaczej:

$$N_e = \text{Const} \cdot V_s \cdot p_i \cdot n \cdot \eta_m \cdot z \text{ KM}$$

tu $\text{Const} = \frac{1}{45 \cdot 10^4}$ oraz V_s — objętość skokowa w cm^3

Moc zależy więc od pięciu czynników.

Objętość skokowa V_s i ilość cylindrów z są to czynniki „wielkościowe” i mniej wpływają na jakość pracy silnika pod względem cieplnym. Jakość pracy silnika określają raczej n , η_m i głównie p_i .

Podwyższenie n powoduje wzrost trudności przy korzystaniu z tego środka powiększania mocy. Jednak możliwe są liczby obrotów nawet ponad 6000, co odpowiada szybkości średniej tłoka 20 m/sek. (doświadczenia Ricardo).

Wpływ na sprawność mechaniczną η_m mamy bardzo mały, ponieważ zastosowanie lekkich materiałów i zastąpienie łożysk panewkowych łożyskami kulkowymi względnie rolkowymi podniosło η_m silnika niemal do kresu możliwości.

Pozostaje więc wziąć pod uwagę średnie ciśnienie indikowane p_i . Jest to najważniejszy czynnik, który określa jakość pracy silnika.

W celu powiększenia p_i należy uzyskać:

- 1) wysoki stopień sprężania ϵ .
- 2) szybkie, ale pozbawione detonacji, spalanie,
- 3) duży stopień napełnienia cylindra,
- 4) czystość ładunku,
- 5) dobre przemieszanie.

Sprężanie w silniku omawianego typu zaczyna się od chwili zamknięcia szczeliny wydechowej (W_z na rys. 2 i 3) i stopień sprężania wyraża się

$$\epsilon = \frac{V_s' + V_o}{V_o} \text{ (rys. 2).}$$

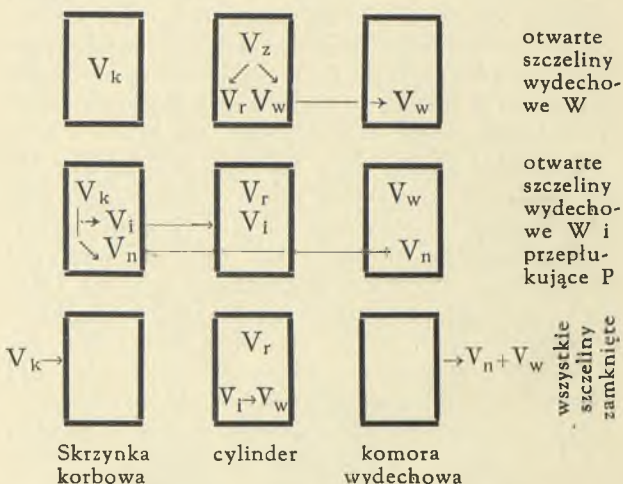
Wysokość stopnia sprężania ograniczona jest samozapłonem paliwa, co też ogranicza możliwość powstania detonacji.

Osiągnięcie trzech ostatnich warunków zależy od przepłukania i napełnienia cylindra, co wpływa

na moc, rozchód paliwa, rozgrzewanie się, zakres zmienności obrotów i zdolność regulacji silnika.

Przebieg przepłukiwania cylindra przedstawia się schematycznie w następujący sposób:

W chwili początku otwarcia szczelin wydechowych (W_o rys. 2 i 3) w skrzynce korbowej znajduje się ilość V_k sprężonej mieszanki. W cylindrze w tej chwili jest V_z spalin w których podczas przepłukiwania większa część $= V_w$ usuwa się do komory wydechowej, zaś część V_r pozostaje w cylindrze.



Gdy otwarte są szczeliny W i P (patrz rys. 1, 2, 3, 4) mieszanka wchodzi do cylindra i usuwa rozprężone już spaliny, przytem część $= V^w$ mieszanki uchodzi wraz ze spalinami do komory wydechowej, a część $= V_i$ pozostaje w cylindrze do sprężania i stanowi właściwy ładunek który później spala się na V_w .

Przepłukiwanie charakteryzują następujące wielkości:

a) Spółczynnik wydatku przepłukiwania:

$$\lambda_p = \frac{V_k}{V_s} = \frac{\zeta \cdot \zeta_k \cdot V_s}{V_s}$$

V_k — całkowita objętość zasysanej do skrzynki korbowej mieszanki,

$$V_k = V_s''' \text{ (rys. 4)}$$

V_s — objętość skokowa cylindra

ζ — współczynnik zależny od przebiegu otwierania się szczelin przepłukujących t. j. od reguły powstawania przekrojów czasowych.

η_k — sprawność objętościowa skrzynki korbowej jako pompy przepłukującej

b) Ilościowa sprawność przepłukiwania:

$$\eta_p = \frac{V_i}{V_k} = \frac{V_i}{\zeta \cdot \eta_k \cdot V_s}$$

gdzie V_i — ładunek mieszanki, t. j. ilość która pozostaje w cylindrze po przepłukaniu i jest źródłem energii w obiegu silnika.

c) Jakościowa sprawność przepłukiwania:

$$\eta'_p = \frac{V_i}{V_i + V_r} = \frac{\eta_p}{\eta_p + \alpha}$$

gdzie V_r — objętość pozostałych po przepłukaniu

w cylindrze spalin, oraz $\alpha = \frac{V_r}{V_k}$

d) Stopień napełnienia cylindra:

$$\eta_v = \frac{V_i}{V_s}$$

Należy tu pamiętać, że wszelkie porównania objętościowe można dokonywać po sprowadzeniu objętości do jednakowych warunków ciśnienia i temperatury.

Ważnem jest, aby sprawność ilościowa η_p była wysoka, ponieważ wtedy jest też dobra sprawność jakościowa η'_p , a więc ładunek jest bogatszy w świeżą mieszankę. Sprawność η'_p nie świadczy wcale o wielkości straty przy przepłukiwaniu, spowodowanej przez wyjście części V_n mieszanki przez szczeliny wydechowe, — strata ta wchodzi do η_p .

Ilościowa sprawność przepłukiwania η_p zależy od szeregu czynników, które są:

- 1) Spółczynnik wydatku przepłukiwania λ_p
- 2) Wielkość, rozmieszczenie, kształt i przebieg otwierania się szczelin przepłukujących i wydechowych,
- 3) Liczba obrotów — n
- 4) Stosunek — S/D
- 5) Kształt denka tłoka,
- 6) Kształt przestrzeni spalania.

Wymienione warunki mogą wzajemnie polepszać się. Konieczność dobrego przepłukiwania ma uzasadnienie z różnych względów.

Ze względu termodynamicznego:

- a) uzyskanie możliwie czystego ładunku cylindra przez zmniejszenie pozostałości gazów spalinowych, a więc zwiększenie η'_p .
- b) osiągnięcie krótszego czasu spalania i uniknięcie detonacji przez dobre przemieszanie.
- c) mniejsze ogrzewanie świeżej dawki przez resztki spalin (których jest mniej) i przez ścianki cylindra, przez co zwiększa się wagowa ilość ładunku.

Ze względu ekonomicznego:

- d) mniejszy współczynnik wydatku przepłukiwania λ_p , zatem mniejszy rozchód paliwa na KMgodz.

Ze względu na rozporządzalność pracą silnika:

- e) możliwość regulacji w szerszym zakresie liczby obrotów.

Rodzaje strat i ich stosunkowe wielkości zestawione są na wykresie bilansu cieplnego silnika (rys. 5). Bilans cieplny t. j. rozdział energii na

poszczególne pozycje w zależności od liczby obrotów, jest zestawiony dla przykładu na podstawie badań Dr. inż. O. Kluesenera w Instytucie Badań Silników Spalinowych w Hannoverze.

Badany był jednocylindrowy silnik typu trójkanałowego ze sprężaniem mieszanki w skrzynce korbowej, o pojemności skokowej $V_s \cong 250 \text{ cm}^3$, chłodzony wodą (typ DKW).

Za jednostkę przyjęto ilość ciepła doprowadzonego w postaci paliwa do silnika w ciągu pewnego czasu (np. 1 godz.).

Z wykresu tego widać, że sprawność silnika jest dość niska, co pociąga za sobą zwiększony rozchód paliwa na KMgodz.

Na wielkość rozchodu paliwa wpływa w dość znacznym stopniu jakość mieszanki.

Ogólnie można powiedzieć, że mieszanka bogata t. j. z małym nadmiarem powietrza, jest niepożądana z dwóch względów: 1—powoduje zwiększenie straty niezupełnego spalania, i 2 — powiększa stratę przepłukiwania, ponieważ większa ilość paliwa ujdzie przez szczelinę wydechową w czasie przepłukiwania (w objętości V_n).

Sprawność ogólna (użyteczna) silnika wyraża się:

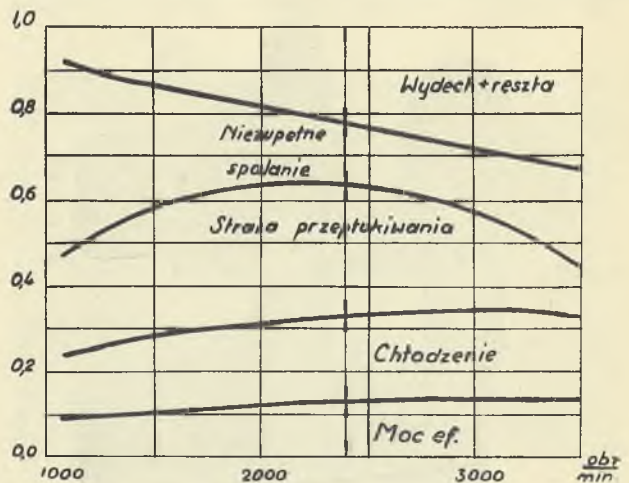
$$\eta_u = \frac{632,3}{B W_u}$$

gdzie 632,2 — równoważnik cieplny 1 KMgodz. w kalorjach

B — rozchód paliwa w kg/KM godz.

i W_u — wartość opałowa użyteczna paliwa w kal/kg.

Sprawność użyteczna może być odczytana wprost z wykresu bilansu jako odcinek rzędnej



rys. 5

między osią odciętych i krzywą mocy. Zestawione w bilansie wyniki badań zostały zmierzone wówczas, gdy silnik nie był pędzony mieszanką o najodpowiedniejszym stosunku paliwa i powietrza, a zatem możliwym jest, że sprawność mogłaby być nieco lepsza.

— Duży rochód paliwa, w silniku typu trójkanałowego wynoszący 400—500 gr KMgodz. Spowodowany jest zatem przez straty przepłukiwania i niezupełnego spalania. Zestawiając ujemne strony silnika typu trójkanałowego można wymienić następujące wady:

1) Straty mieszanki. a) przez ujście części jej do komory wydechowej przy przepłukiwaniu. b) przez mieszanie się ładunku z pozostałościami gazów spalinowych (które są większe niż w 4-0 suwowym silniku) co powoduje niezupełne spalanie.

2) Mała możliwość przeciążania a) ponieważ nadatek mieszanki ujdzie z cylindra do komory wydechowej przy przepłukiwaniu, b) wskutek niedostatecznych przekrojów czasowych przepłukiwania i ładowania, c) ze względu na niedostateczny stopień napełnienia skrzynki korbowej jako pompy przepłukującej.

3) Ograniczony zakres regulacji mocy i liczby obrotów.

Aby racja istnienia tego typu silników była uzasadniona, muszą one posiadać poważne zalety, co też jest w istocie. Przy wyszczególnianiu zalet siłą rzeczy narzuca się porównanie z silnikiem czterosuwowym. Można przytoczyć następujące bezsporne zalety:

1) Prosta budowa — brak rozrzędu zaworowego ogromnie upraszcza budowę silnika.

2) Większa niezawodność biegu — bo jest mniej części składowych i są one prostsze.

3) Łatwiejsza obsługa — wynika to z zalet poprzednich.

4) Większa równomierność pracy silnika — moment obrotowy jest bardziej jednostajny.

5) Mniejsze wymiary i ciężar silnika w porównaniu z silnikiem czterosuwowym tej samej mocy i o tejże liczbie obrotów.

Istnieją poglądy, że rozruch silnika dwusuwowego wybuchowego jest jakoby trudniejszy niż silnika czterosuwowego.

W stosunku do omawianego typu silnika niema podstaw, aby tak twierdzić.

Na podstawie powyższego zestawienia wad i zalet można określić, że szybkobieżny silnik wybuchowy dwusurowy małej mocy może mieć zastosowanie tam, gdzie większy rochód paliwa na KMgodz. nie gra ważnej roli, zważywszy przytem, że koszt silnika dwusurowego wypadnie mniejszy niż czterosurowego.

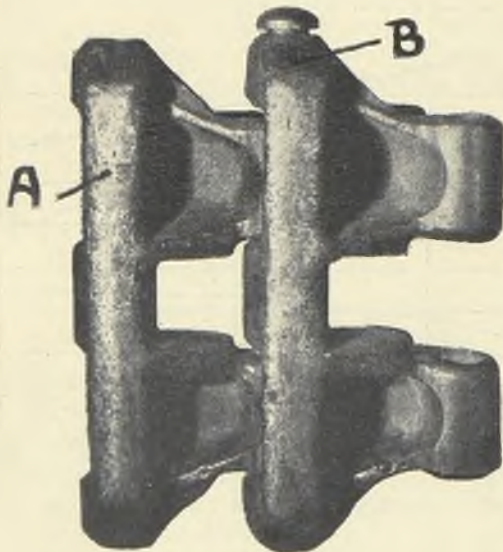
Ma to miejsce przy napędzie motocykli, łodzi motorowych, pomp pożarniczych, mniejszych samochodów i t. p., gdzie chodzi głównie o taniość silnika i gdzie zalety dwusuwu grają poważną rolę.

Wielki rozwój produkcji tych silników oraz szerokie i rosące zastosowanie ich w wymienionych dziedzinach potwierdzają to w zupełności.

Inż. JAN ŁAPUSZEWSKI

Polska gąsienica bezsworzniowa

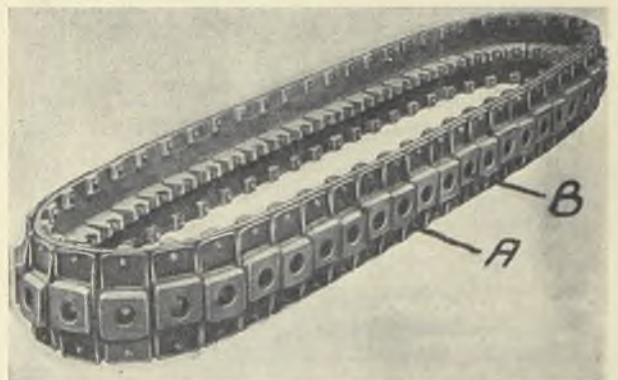
W obecnym stanie rozwoju konstrukcji gąsienic, wśród używanych rozwiązań, najlepszymi są bezspornie następujące gąsienice: metalowe,



Rys. 1.

sworzniowe o małych podziałkach, wykonywane przez firmę Vickers, oraz gumowa taśmowa firmy Citroën Kegresse; z bezsworzniowych zasługuje na uwagę gąsienica konstrukcji Johnsona.

Gąsienice sworzniowe firmy Vickers w porównaniu z innymi odznaczają się małymi podziałkami $t = 45 + 90$ mm, oraz kształtem bardzo celowym pod względem rozkładu naprężeń, co wywołuje zmniejszenie ciężaru gąsienicy oraz zapewnia jej niezawodność przy większych szybkościach, wywołujących wzrost naprężeń w ogniwach i na sworzniach. Drobna podziałka powoduje bieg wo-



Rys. 2.

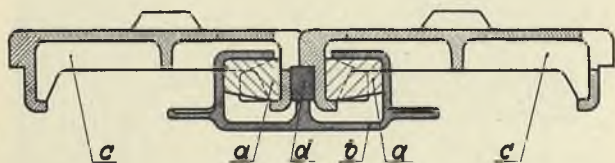
zu bez wstrząsów oraz zmniejsza deformację gruntu. Dzięki poprzecznym wystarczająco szerokim żebrom A, gąsienice te znacznie mniej od innych psują powierzchnię drogi, posiadając jednocześnie

potrzebną przyczepność (adhezję). Ścięty na końcach kształt żebra (powierzchnia B na rys. 1) zmniejsza również psucie drogi przy skrętach wozu. Prócz tych niezaprzeczalnych zalet gąsienice te posiadają wadę wspólną dla wszystkich gąsienic sworzniowych, a mianowicie niemożliwość jakiegokolwiek uszczelnienia powierzchni trących przed kurzem, piaskiem i błotem, w wyniku czego następuje szybkie zużywanie sworzni oraz otworów dla nich w gąsienicach, co stwarza potrzebę częstego napinania gąsienicy oraz trudności przy wybijaniu wyrobionego sworznia.

Gąsienica Vickersa przy ruchu po szosach, szczególnie rozmokłych, pomimo małego nacisku jednostkowego $p = 0,4 \text{ kg/cm}^2$ psuje je więcej niż samochody kołowe na pneumatykach.

Półmetalowa gąsienica Citroën Keresse z ciągłą taśmą gumową posiada następujące zalety:

- 1) jest lekka, co pozwala na zmniejszenie ciężaru konstrukcji zawieszenia,
- 2) nie hałasuje podczas jazdy,
- 3) posiada dobrą sprawność dzięki elastyczności taśmy.



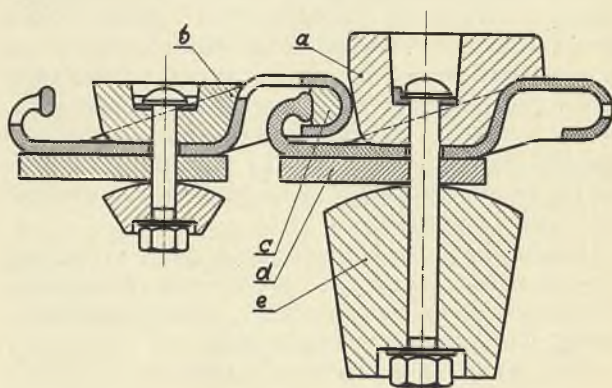
Rys. 3. Gąsienica bezsworzniowa Johnsona.

Korzystnie wpływają na dobroć gąsienicy ściśle przylegające jedna do drugiej nakładki metalowe A z żebrami, chroniące zewnętrzną stronę taśmy od szybkiego zużycia się i przy jeździe po miękkim gruncie, przy pogrążeniu się nakładek gumowych B, zapewniają jej dostateczną przyczepność. Przy jeździe po drogach twardych gąsienica opiera się na nakładkach gumowych B, przymocowanych na zewnątrz płytek metalowych w celu ochrony nawierzchni drogi.

Przy skrętach wozu gąsienica otrzymuje znaczne naprężenia pochodzące od bocznego poślizgu, które wytrzymuje ona gorzej od gąsienicy metalowej, wobec czego gąsienica Citroën Keresse używa się prawie wyłącznie do wozów kołowo-gąsienicowych, których promień skrętu jest taki, jak u samochodów kołowych. Ostatnio zastosowano ją do wozów gąsienicowych (tankietki Renault). Praktyczne wyniki tych prób nie są znane. Kardynalną wadą gąsienicy jest możliwość zerwania się taśmy i związany z tem duży koszt zamiany na nową.

Gąsienica bezsworzniowa Johnsona odznacza się tem, że sworznie zostały zastąpione dwiema poduszkami gumowymi a pozwalającymi na pewne przeginięcia się jej w kierunku poprzecznym do jazdy. Gąsienica składa się z ogniw dwóch rodzajów b, c i zostaje związana przy pomocy klina d. Według „Taschenbuch der Tanks“ Heigla

gąsienica ta wyciąga się w mniejszym stopniu od gąsienic metalowych, oraz posiada znaczną łatwość wymiany ogniwi i poduszek gumowych. Wadą gąsienicy Johnsona jest niekorzystny rozkład naprężeń w ogniwach. W punktach narożnych powstają znaczne naprężenia gnące, wymagające dużych przekrojów, co powiększa ciężar poszcze-

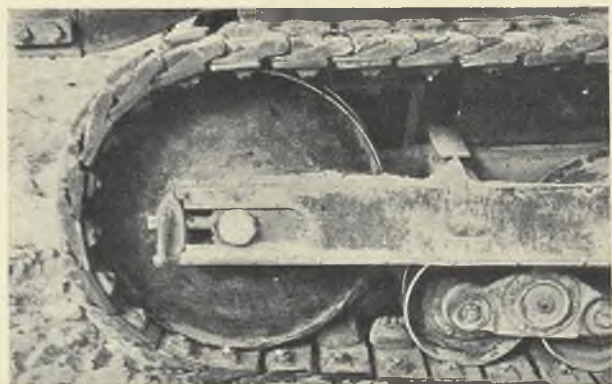


Rys. 4. Gąsienica bezsworzniowa L. B.

gólnych ogniwi i prowadzi do zastosowania ciężkiego, mocnego zawieszenia, a więc powiększa ciężar całego wozu lub ogranicza jego szybkość.

Jako ciekawe rozwiązanie należy uznać bezsworzniową gąsienicę pomysłu inż. L. Bialkowskiego. Rys. 4.

Charakterystyczną cechą tej gąsienicy jest to, że do łączenia dwóch ogniwi nie używa się sworzni lub dodatkowych płytek łączących, lecz po prostu zazębia się z sobą sąsiednie ogniwa. Aby gąsienica nie rozpadła się, stosuje się kliny gumowe a, b, rozpychające ogniwa, między które zostały one założone. Kliny te przy jeździe po twardych drogach spełniają zadanie nakładek gumowych,



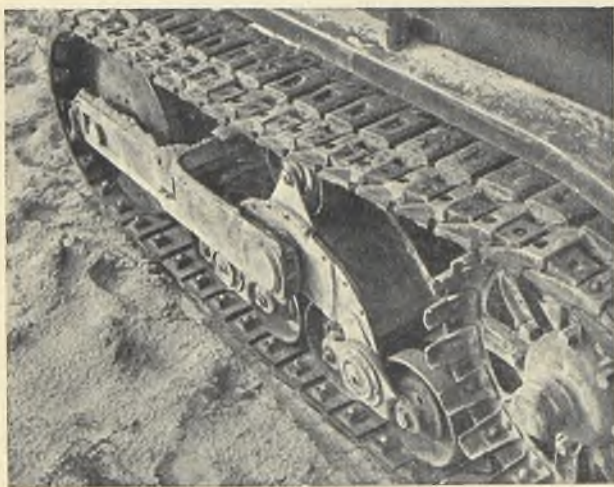
Rys. 5. Gąsienica bezsworzniowa L. B.

chroniących drogę (klin a na rys. 4). Zazębione ogniwa gąsienicy nie stykają się w miejscu zaczepienia bezpośrednio ze sobą, lecz przez specjalne w tym celu założone poduszki gumowe c, które dają elastyczność połączenia i eliminują tarcie dwóch powierzchni metalowych, podnosząc w ten sposób sprawność gąsienicy.

Ogniwa z żebrami przejmują naprężenia rozciągające i zginające. W porównaniu z łańcuchem Vickersa łańcuch inż. Białkowskiego (wspólnie z łańcuchem Johnsona) posiada tę wyższość, że nie ma sworzni, oraz przewyższa te dwie konstrukcje tem, że dzięki wystającym gumowym klinom mniej od nich psuje drogi. Przyczepność łańcucha L. Białkowskiego przy jeździe po twardych drogach równa się przyczepności łańcucha Citroën Kegresse. Przy pokonywaniu skrętów łańcuch zachowuje się jak metalowa sworzniowa, przewyższając pod tym względem łańcuch Citroën Kegresse. Zakładanie łańcucha na wóz jest bardzo szybkie (około 5 min.) tak samo i wymiana ogniw odbywa się o wiele prędzej niż przy łańcuchach sworzniowych.

Konstrukcyjnie ten typ łańcucha daje się bardzo łatwo zastosować do kół napędowych różnego rodzaju wozów łańcuchowych i kołowo-łańcuchowych, udoskonalając ich własności.

Podczas przeprowadzonych prób przy zastoso-



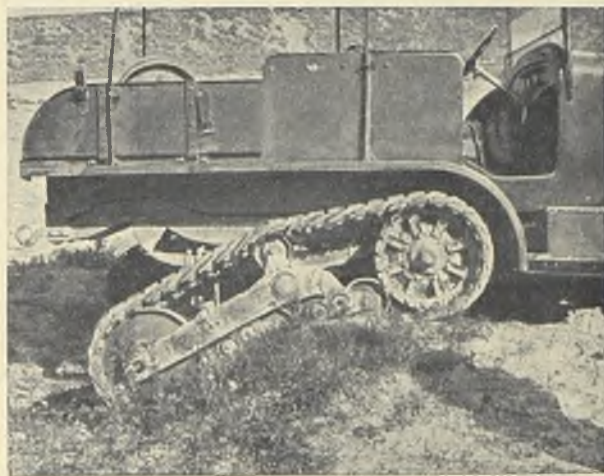
Rys. 6. Łańcuch bezsworzniowy L. B.

waniu łańcucha L. Białkowskiego do kołowo-łańcuchowego wozu „Citroën P 17“ otrzymano następujące wyniki.

Ciężar łańcucha był o 15% większy od ciężaru łańcucha Citroën Kegresse. Na zawieszenie wozu powiększenie ciężaru łańcucha widocznego wpływu nie wywarło. Na wóz ten założono z jednej strony łańcuch L. Białkowskiego, pozostawiając z drugiej strony łańcuch Citroën Kegresse. Po zbadaniu okazało się, że opory jazdy łańcuchem są jednakowe, przytem łańcuch L. Białkowskiego porusza się bez hałasu podobnie jak Citroën Kegresse. Do ząbienia się łańcucha L. B. z kołem napędowym wzięte były nakładki gumowe, oryginalne Citroën Kegresse, które szybciej zużyły się na łańcuchu Citroën Kegresse wskutek większego wyciągania się taśmy gumowej. Po przejechaniu 1200 klm poduszki gumowe wykazały nieznaczne ślady zużycia, niedające się ująć wymiarowo. Podczas jazdy łańcuchem ani razu nie zerwała się i wogóle nie była podciągana, co jest ogromną zaletą w porównaniu z łańcuchami metalowymi. Ze stanu zużycia się wszystkich detali modelowej

łańcucha można sądzić, że powinna ona pokonywać dystans do 4000—5000 kilometrów bez potrzeby wymiany jakichkolwiek części. Dla porównania trzeba zaznaczyć, że przy tych samych szybkościach łańcuch Vickersa wytrzymuje 1000 — 1200 klm, Citroën Kegresse wytrzymuje do 5000 klm. Opory jazdy dla łańcucha Vickersa $f = 0,065 - 0,08$. Łańcuch L. Białkowskiego i Citroën Kegresse $f = 0,05 - 0,065$.

Pod względem trwałości łańcuch L. Białkowskiego przewyższa znacznie łańcuch Citroën Kegresse, która po przebyciu ok. 5000 km wymaga całkowitej zamiany wskutek zupełnego zużycia wszystkich części, gdy tymczasem łańcuch L. Białkowskiego wymaga tylko zamiany części niekosztownych — poduszek gumowych i klinów, odnawiających ją całkowicie, gdyż części metalowe niszczą się minimalnie. Dalszą zaletą łańcucha jest to, że może on być użyty do napędu wozów o rolkach nośnych i podtrzymujących metalowych. Wtedy zostawia się podkładkę gumową d,



Rys. 7. Łańcuch bezsworzniowy L. B.

lub do napędu wozów o rolkach ogumionych — w tym wypadku podkładek tych nie używa się, co tembardziej obniża ciężar łańcucha. Zamieniając łańcuch sworzniowy łańcuchem metalowym L. Białkowskiego, można otrzymać w zależności od wielkości podziałki łańcucha o ciężarze o 15% mniejszym dla drobnych podziałek i do 30% dla większych, co pozwala na dłuższą pracę zawieszania.

Jak więc widzimy łańcuch L. Białkowskiego używa się obecnie jako łańcuch „twardy“, od której nie wymaga się poprzecznego ugięcia, chociaż posiada ona te ugięcia podobnie jak łańcuch Johnsona.

W przyszłości, o ile nastąpi rozwój wozów łańcuchowych, kierowanych przy pomocy kół prowadzących łańcuch, a więc tak, jak u samochodów kołowych (rozwiązanie które nęci konstruktatorów), łańcuch L. Białkowskiego może być również użyty z powodzeniem do tego celu przy minimalnych zmianach kształtu i dobrze odpowiedniego gatunku gumy poduszek.

ST. WITKOWSKI.

Nadwozia o liniach aerodynamicznych

(Studjum orientacyjne).

(Dokończenie)

Ażeby temu zapobiedz, zaczęto stosować zamiast płaszczyzn pionowych (chłodnica i ew. nadbudowa karety), płaszczyzny nachylone pod ostrym kątem do poziomu. Rozpatrzmy nasze podwozie w ten sposób skarosowane.

W myśl warunku stosowalności formuły, rozpatrujemy:

$$v' = v \cdot \sin \alpha \quad \text{rys. 3.}$$

$$W'p = 0,0052 \cdot F' \cdot (v')^2$$

$$W_p = W'p \cdot \sin \alpha$$

$$F' = 2,0 \cdot 1,5 = 3 \text{ m}^2 \text{ niech } \alpha \cong 30^\circ \sin \alpha = 0,5$$

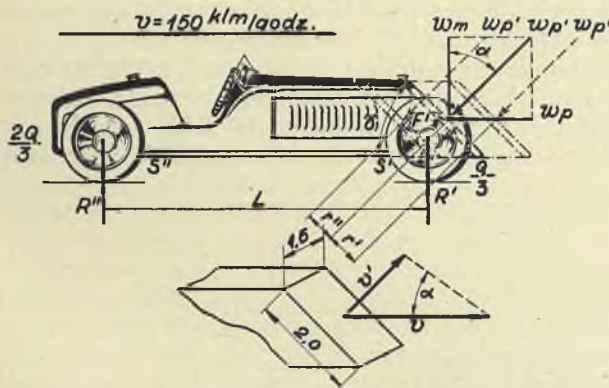
$$\cos 30^\circ = 0,866$$

$$v = 150 \text{ klm/godz. } v' = v \cdot \sin \alpha = 150 \cdot 0,5 = 75 \text{ klm/godz.; } (v')^2 = 5625.$$

$$W'p \cong 0,0052 \cdot 3 \cdot 5625 \cong 88 \text{ kg.}$$

$$W_p \cong 88 \cdot 0,5 \cong 44 \text{ kg,}$$

A więc obecnie opór czołowy jest około 8 razy mniejszy.



Rys. 3.

Równocześnie powstaje składowa pionowa parcia powietrza:

$$W_n = W'p \cdot \cos \alpha = 88 \cdot 0,866 \cong 76 \text{ kg}$$

Widzimy więc że nachylenie płaszczyzny czołowej pod 30° do poziomu przynosi nam — zamiast odrywania kół przednich od drogi — docisk ich z siłą około 76 kg. do drogi!

Należy jednak zauważyć, że nie jest obojętnem dla równowagi wozu podczas jazdy położenie tej płaszczyzny czołowej względem osi przedniej. Ażeby sobie z tej zależności zdać sprawę, rozpatrzmy równowagę wozu w wypadku wysunięcia płaszczyzny czołowej znacznie przed oś (na rys. 3 kreskow. położenie frontowe).

Suma mom. względem p. S' (oś kół przednich):

$$- \frac{2}{3} Q \cdot L + R'' \cdot L + W'p \cdot r' = 0$$

$$\text{stad } R'' = \frac{2}{3} Q - W'p \cdot \frac{r'}{L} \dots \dots \dots (2)$$

Suma momentów względem p. S'' (oś kół tylnych):

$$\frac{Q}{3} \cdot L + W'p \cdot (L \cdot \cos \alpha + r') - R' \cdot L = 0$$

$$\text{stad } R' = \frac{Q}{3} + W'p \cdot \left(\frac{r'}{L} + \cos \alpha \right) \dots \dots (3)$$

Z równań (2) i (3) widać, że gdy wypadkowa Wp' parcia powietrza przechodzi przed osią przednią, to następuje wprowadzenie docisku kół przednich dodatkowy, lecz dzieje się to kosztem odciążenia kół tylnych. Inaczej: siły działają w kierunku „przekoziółkowania“ wozu przez oś przednią. Do tego jednak nie może dojść, bo z chwilą oderwania się tylnych kół (jako pędzących) od drogi, znacznie maleje prędkość!

Rozpatrzmy teraz sytuację, gdy wypadkowa Wp' przechodzi pomiędzy osią przednią (S') i tylną (S'').

Wówczas zamiast momentu dodatniego + Wp' \cdot r' mamy ujemny — Wp' \cdot r'', więc w równaniu (2):

$$R'' = \frac{2}{3} Q + W'p \cdot \frac{r''}{L}$$

$$\text{a w równaniu (3): } R' = \frac{Q}{3} + W'p \cdot \left(\cos \alpha + \frac{r''}{L} \right)$$

Z rys. 3 widać, że póki Wp' przechodzi pomiędzy S' i S'', musi być

$$\frac{r''}{L} < \cos \alpha$$

$$\text{czyli } \cos \alpha - \frac{r''}{L} > 0$$

A więc w wypadku, gdy Wp' przechodzi pomiędzy S' i S'', parcie powietrza dociska zarówno oś przednią jak i tylną. Rozkład tego docisku zależy od stosunku odległości Wp' od S' i S''.

Wreszcie, gdy płaszczyzna czołowa F' jest tak ustawiona, że wypadkowa parcia Wp' przechodzi przez oś przednią to r'' = r' = 0;

z równania (2)

$$R'' = \frac{2}{3} Q$$

z równania (3)

$$R' = \frac{Q}{3} + W'p \cdot \cos \alpha$$

W tym wypadku Wp' dodaje się tylko do obciążenia osi przedniej, nie naruszając równowagi osi tylnej (patrz rys. 3). Pozostało jeszcze rozpatrzyć tył karoserji. Niech będzie dany kształt tyłu, ściętego płaszczyzną, jak na rys. 4.

Tu możnaby przeprowadzić analogiczne rozumowania, jak do rys. 3, lecz my zadowolimy się stwierdzeniem, że siła

$$T = (p - P_0) \cdot F'' \quad \text{przy } P_0 < p \cong P_{atm.} \cong 1 \text{ atm.}$$

oprócz składowej wstrzymującej T_x, daje składową T_y — „podnoszącą“ tył wozu. Oczywiście to

podnoszenie tyłu wozu pociąga za sobą pewne zwiększenie nacisku kół przednich. Tutaj głównym złem jest składowa wstrzymująca T_x .

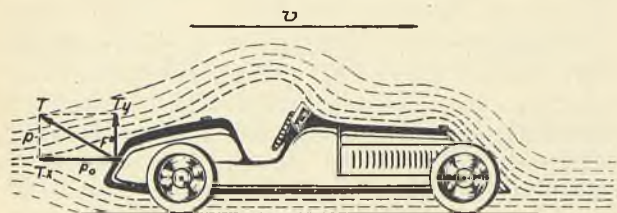
Na zakończenie rozważymy tył karoserji, jak na rys. 5:

W tym wypadku siła T'' oprócz wstrzymywania T_x' — powoduje pewien docisk T_y' tyłu wozu do drogi; dzieje się to kosztem zmniejszenia momentem $M = -T'' \cdot r'$ nacisku na koła przednie.

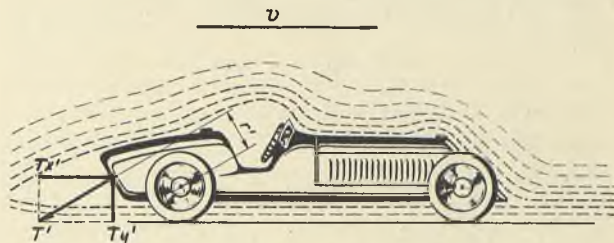
Jeśli teraz zwrócimy uwagę na kształt konturu

lepszenie trzymania drogi ze wzrostem prędkości (mimo, że jeszcze niewspółmierne ze wzrostem wpływów szkodliwych), dopiero taki kształt karoserji umożliwił bezpieczne przekroczenie 300 klm/godz. i dalsze jej powiększanie.

Takie linje karoserji, „uszlachetnione“ dokładnymi rozważaniami i pomiarami, zwiększyły bezpieczeństwo i ekonomję jazdy z dużemi prędkościami tak dalece, że próbuje się te karoserje o wyszukanych linjach, ustawiać na wozach seryjnych, przeznaczonych dla szerszej rzeszy przeciętnych



Rys. 4.



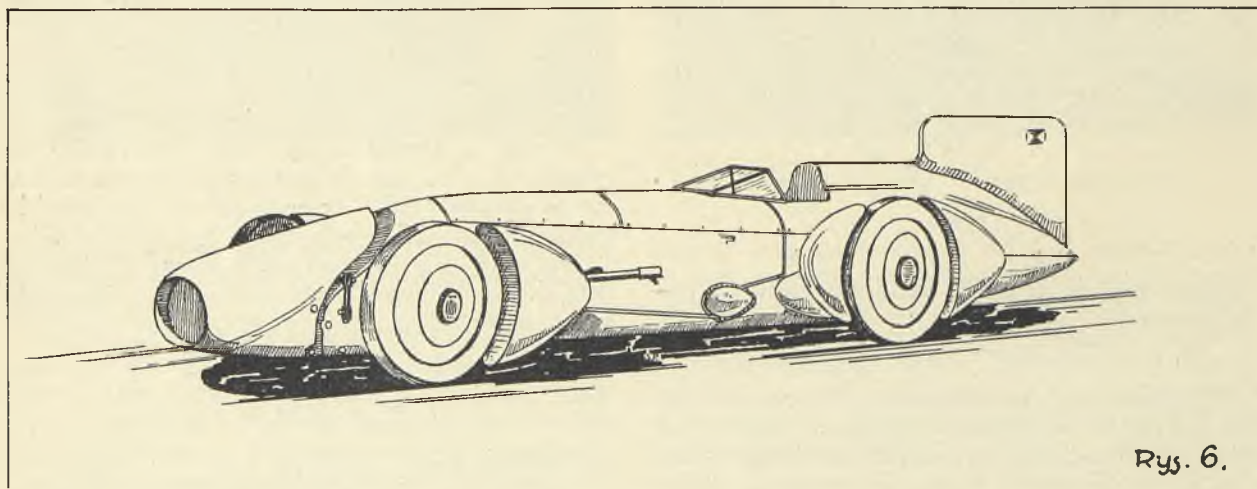
Rys. 5.

przestrzeni podciśnienia za wozem, zaznaczony na rys. 5 linjami opływu powietrza, to narzuca nam się poprostu wskazanie, żeby tę przestrzeń „wypełnić“ karoserją, a zniknie szkodliwe podciśnienie. A więc tył karoserji winien mieć kształt odpowiadający linjom opływu prądu powietrza, czyli będzie to karoserja prądolinjowa, albo aerodynamiczna. Tutaj największą trudność przedstawia określenie przebiegu linii opływu, co jest zadaniem pomiarów laboratoryjnych.

W konkluzji dochodzimy do kształtu bolidu,

kierowców, jakimi są zazwyczaj posiadacze samochodów. Dla poparcia moich wywodów przytoczę jako przykład, wyniki doświadczeń przeprowadzonych w Ameryce. Wyniki te zostały zreferowane na zebraniu oddziału stanu Indiana Ameryk. Stow. Inż. Bud. Sam., a opublikowane w „Machinery“ N. York, October 1931.

Limuzyna wyposażona w silnik 125 KM, osiągała maksymalną prędkość 129 klm/godz. Ta sama limuzyna, lecz z silnikiem 200 KM, osiągała maksymalną prędkość 151 klm/godz. A więc, aby



Rys. 6.

rys. 6, który też przy obecnym stanie badań jest dominującym. Dochodzi tu jeszcze płaszczyna sterowa z tyłu, która ma za zadanie zapobiegać zarzucaniu tyłu wozu — na boki; bo tył, oprócz ciężaru własnego, nie jest dociskany parciem powietrza do drogi w tym stosunku, co przód. Wprawdzie można to uzyskać, jak widać z rozważania do rys. 5, lecz jest okupione wstrzymywaniem T_x' i odrywaniem przednich kół od drogi.

A więc dopiero kształt karoserji, który umożliwił wyzyskanie sił parcia powietrza — do docisku wozu do drogi — i wynikające z tego po-

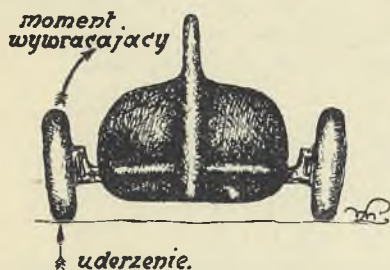
zwiększyć prędkość o 17%, trzeba było zwiększyć moc silnika o 60%.

Z kolei zdjęto z podwozia karoserję limuzyny i silnik 200 KM, a ustawiono znów silnik 125 KM i zmontowano na tem podwoziu karoserję typu „Roadster“ o linjach aerodynamicznych; ten samochód uzyskał prędkość 174 klm/godz. Zatem zastosowanie karoserji aerodynamicznej umożliwiło zwiększenie prędkości o 35%.

Widzimy więc, że stoimy wobec nadchodzących zmian i to dość daleko idących, w budowie karoserji. Nowoczesnej karoserji będzie na-

dawał linje nie artysta rysownik, choćby o wysokim poczuciu harmonji i swoim nieraz rozumieniu „ducha prędkości“, lecz inżynier z laboratorium aerodynamicznego.

Powyższe wywody nasuwają pewne wnioski co do przypuszczalnego kształtu bolidu przyszłości. Wobec tego, że potrafimy wyzyskiwać wzrastające prędkości samochodów dla zwiększania nacisku przednich kół do drogi, narzuca się poprostu wskazanie, żeby te koła uczynić pędzącymi. Albowiem już w bolidach z tylnym napędem występują trudności w związku z należytem obciążeniem tylnej osi dla uzyskania należytej adhezji, gdyż najcięższy zespół, to jest silnik, znajduje się w przodzie. Tylna oś jest obciążona, oprócz ciężaru własnego, tylko częścią nadwozia i udziałem



Rys. 7.

ciężaru jeźdźca. Wypada tu zauważyć, że konstruktor samochodu turystycznego ma przy obliczeniach do dyspozycji na tylnej osi oprócz ciężaru części nadwozia jeszcze ciężar kilku osób.

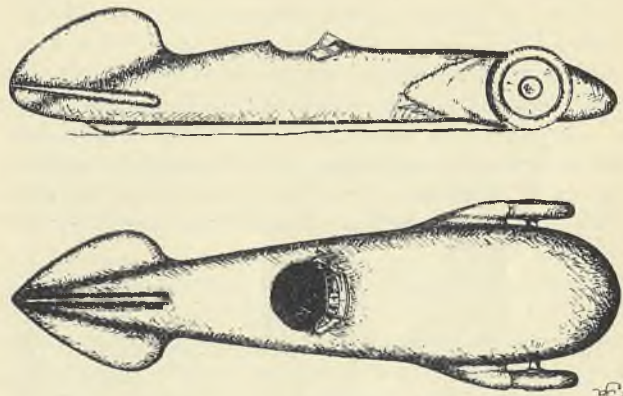
Tymczasem konstruktor bolidu rozporządza w tym wypadku tylko udziałem ciężaru jednej osoby (oprócz udziału nadwozia). Przy dużych szybkościach najmniejsza nierówność powoduje mocne podrzucenie koła, które przebywa przez to dłużej w powietrzu. Należy sobie teraz uprzytomnić, że przy napędzie półosi kół za pośrednictwem mechanizmu różnicowego (t. j. dyferencjału), odzwanie się jednego koła od ziemi, znaczy tyle co wyłączenie silnika. W ten sposób wyłączony chwilowo silnik, idący pod pełnym gazem, zużywa swą całą moc na gwałtowne przyspieszenie obrotów odciążonego koła. Faktyczna szybkość pojazdu w tym czasie maleje. Gdy takie zbyt prędko wirujące koło spada z powrotem na ziemię, wywołuje reakcję wprawdzie przyspieszającą lecz mającą charakter uderzenia i to wymierzonego niesymetrycznie, więc zaburzającego prostoliniowość jazdy. Dlatego też wozy, przeznaczone do jazdy bardzo szybkiej, mają zazwyczaj t. zw. blokowane dyferencjały, to jest posiadają mechanizm, umożliwiający sztywne zespolenie obu półosiek pędzących, dla jazdy po linii prostej.

Taka konstrukcja, stosowana z inych względów nawet w wozach ciężarowych, ogranicza możliwość jałowej pracy silnika jedynie do wypadku, gdy oba koła pędzące uniosą się równocześnie w powietrze. Nasuwa się tu pewna dygresja. Mianowicie wyżej opisane zjawisko znajduje wyraz w wahaniach wskazówki tachometru, który wykazuje wówczas prędkości większe, niż rzeczywiste. Naprzykład podczas ostatniej jazdy rekordowej mjra Campbella, licznik wykazywał szybkość 530 klm/godz, kiedy tymczasem średnia prędkość rzeczywista wyniosła 438 klm/godz. (Vide: Technika Samoch. Nr. 2). Sam błąd wskazania licznika wynosi 21% w stosunku do prędko-

ści istotnej, a 17% w stosunku do wielkości wykazanej. Błąd ten przedstawia poważną szybkość 92 klm/godz, jaką trudno jest wogóle osiągnąć samochodem turystycznym na drodze. Należy w tem miejscu zauważyć, że im gorsza droga, tem przy mniejszej prędkości zaczyna licznik „dodać“. O tem zjawisku winni pamiętać wszyscy ci automobiliści i motocykliści, którzy kontrolują swą prędkość tachometrem, a nie zegarkiem na określonym odcinku drogi.

Wracając do właściwego tematu, możemy jeszcze uczynić spostrzeżenie, że owe uderzenia pochodzące od drogi a wymierzone w koła tylne wytwarzają momenty usiłujące wywracać wóz na boki, rys. 7. Tych szkodliwych momentów możemy uniknąć, dając z tyłu jedno koło, oczywiście pośrodku śladów kół przednich. W tym wypadku od uderzeń w tylne koło powstają jedynie momenty usiłujące obrócić wóz około osi kół przednich, rys. 8.

Lecz gdy z tyłu jest tylko jedno koło, odbiera tył wozu połowę tej ilości uderzeń od drogi, co przy dwóch kołach. Wstrząśnienia te są jednak nieco silniejsze. Zastosowanie z tyłu jednego tylko koła zmniejsza znakomicie opory aerodynamiczne, pozwalając zaoszczędzoną nadwyżkę mocy zużyć na powiększenie prędkości. Również pewnie utrzymuje kierunek jazdy samochód o przed-



Rys. 8.

nim napędzie, niż z napędem tylnym. *) Wreszcie trójkołowiec stanowi korzystniejszy do oprofilowania aerodynamicznego szkielet, niż cztero-kołowiec, jak to widać z górnego rzutu rys. 8. Zatem nasze elementarne rozważania doprowadziły do wniosku dość niespodziewanego na pierwszy rzut oka, mianowicie: bolidem przyszłości, który umożliwi wreszcie przekroczenie szybkości 500 klm/godz powinien być trójkołowiec z przednim napędem, a nie wóz cztero-kołowy, triumfujący jak dotychczas bezkonkurencyjnie w tabeli światowych rekordów szybkości.

*) Po bliższe wywody odsyłam Czytelnika do Kalendarza Samochodowego R. Bussien'a.

Inż. PAWEŁ KOSIERADZKI.

Niklochromowanie części samochodowych

(Dokończenie).

Za krótki jednak czas trzymania w wannie może spowodować niedostateczne odtłuszczenie, zwłaszcza jeżeli mamy do czynienia ze skomplikowanymi kształtami. Wreszcie najważniejszą wadą jest pominięcie korozji, a więc pozostawienie na powierzchni tlenków, działanie których było już wyjaśnione. Reasumując, jest to metoda dość kapryśna i powodująca często niepowodzenia w postaci źle przylegających warstw niklu.

Na sprawę odtłuszczania z korozji zwracam specjalną uwagę, ponieważ od właściwego ich wykonania zależy w dużej mierze dobre przyleganie, a więc i zdolność ochronna warstwy niklochromowej.

Należy zwrócić uwagę, że nikiel chroni przed rdzą tylko wówczas, gdy pokrywa stal całkowicie — tworzy nieporowatą i nieprzepuszczającą powierzchnię; działanie jego wówczas jest podobne jak powłoki emalii czy farby. Jeżeli powłoka niklu nie jest całkowitą (w znaczeniu w jakim się mówi o powłoce farby lub emalii) np: miejsca cienko pokryte lub niepokryte, porowata warstwa, to wówczas nikiel raczej sprzyja rdzewieniu i przyspiesza je. Można to wyjaśnić następująco: jeżeli 2 różne metale są w kontakcie w elektrolicie, to zawsze jeden rozpuszcza się i utlenia szybciej niż drugi, przyczem ten, który się rozpuszcza szybciej chroni do pewnego stopnia drugi.

W elektrochemii metal szybciej rozpuszczający określa się w stosunku do pozostałego jako elektrododatni; nazywają go też mniej szlachetnym. W wypadku Ni i Fe, mniej szlachetne jest żelazo, ono też będzie się utleniać, praktycznie biorąc, rdzewieć.

Jako elektrolit jest wilgotne powietrze, dokładniej para wodna zawarta w powietrzu, która zawiera zawsze rozpuszczony kwas węglowy, tlenek węgla, dwutlenek siarki, ozon, wreszcie ślady Na Cl i innych soli. Z powyższych rozważań widać jasno, jak niebezpieczne, z punktu widzenia ochrony przed rdzewieniem, jest miejscowe obnażenie stali na skutek złuszczenia niklu, przetarcia przy polerowaniu, czy też innych powodów.

W konstrukcjach samochodowych wszystkie części niklochromowane (zderzaki, piasty kół, maska chłodnicy, oprawa przedniej szyby, latarnie, klamki, pałaki, drobna armatura) są wykonane na błyszcząco; wymaga to specjalnego odpolerowania przed rozpoczęciem procesów galwanicznych.

Polerowanie skutecznia się bądź na specjalnych maszynach, jak zderzaki, bądź ręcznie na tarczach polerowniczych (filc oklejony szmerglem), szcztokach drucianych i włosianych oraz tarczach płóciennych t. zw. szmaciankach.

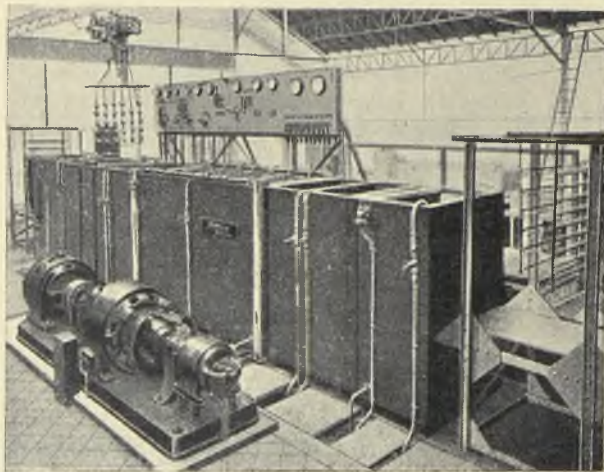
Odpolerowanie przed niklowaniem musi być zupełnie dokładne — wszelkie rysy, nawet drobne po opolerowaniu niklu uwidoczną się bardzo wyraźnie.

Po polerowaniu części muszą być obmyte z pyłu polerskiego i zgrubszą odtłuszczone w benzynie, w wodzie z ługiem lub w jakikolwiek inny sposób.

Przechodząc do właściwych procesów galwanotechnicznych powinniśmy mieć po kolei:

- a) odtuszczenie elektrolityczne;
- b) płókanie w wodzie bieżącej;
- c) korozję (np. elektrolityczną w H_2SO_4 — $53^\circ C$ dla stali, w 10% HCl dla mosiądzu, miedzi i t. d.);
- d) płókanie w dwóch wodach bieżących;
- e) niklowanie;
- f) rekuperacja soli niklu;
- g) płókanie w wodzie bieżącej;
- h) płókanie w wodzie wrzącej;
- i) suszenie w trocinach.

Tendencją nowoczesną jest stosowanie kąpeli do niklowania, pracujących na gorąco ($50^\circ C$), o wysokim amperażu wynoszącym do 10 Amp/dm². Czas krycia warstwy 0,025 mm wynosi około 15 min. Dokładniejszy opis tych kąpeli



Rys 5.

podam w „Mechaniku“ zesz. 8—9 1931, tam też odsyłam zainteresowanego.

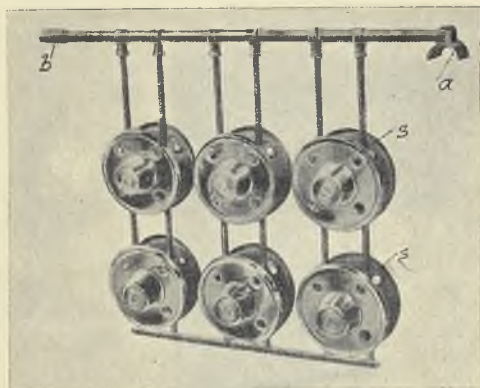
Oczywiście również dobre wyniki otrzymać można i z każdej innej dobrze prowadzonej kąpeli do niklowania, o ile tylko wykonamy należyte punkty a i c.

Dawniej ustawiano wanny zazwyczaj chaotycznie (przytem wobec bardzo wolnego niklowania, na jedną wannę do odtłuszczania czy do płókania wypadało kilka do niklowania), w instalacjach nowoczesnych wszystkie wanny mają wspólny gabaryt i ustawione są w jeden szereg (rys. 5 — Société Parisienne de Carrosserie Automobile). Ułatwia to ogromnie przenoszenie uchwytów z wanny do wanny i pozwala puścić nad wannami wciągnik,

za pomocą którego przenosimy cięższe przedmioty.

O ile stosujemy wspomniany łańcuch wanien, przedmioty do niklowania umieszcza się na specjalnych uchwytach. Rys. 6 przedstawia uchwyt z piastami kół samochodowych (Renault), rys. 7 ze zderzakami. Doprowadzanie prądu następuje łapką a (rys. 6), która opiera się na szynie połączonej z przewodem ujemnym, drugi zaś koniec b leży za pośrednictwem rurki izolacyjnej na szynie dodatkowej. Części uchwytu zanurzone w wannie są pokryte specjalną masą izolacyjną chroniącą przed osadzaniem na nich niklu.

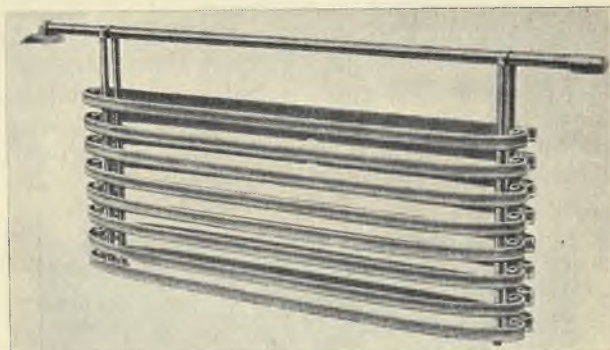
Doprowadzanie prądu do piast odbywa się sprężynkami „s”. Zaletą tych uchwytów jest łatwość



Rys. 6.

w kwasie solnym), i dopiero niklowane. Osobiście nie jestem zwolennikiem tej metody jako bardzo komplikującej sam proces galwanizacji i zwiększającej możliwość błędów (powtórne odtłuszczanie, nie stosowanie zazwyczaj korozji, łatwość skałeczenia miękkiej warstwy miedzi i t. p.).

Po ukończeniu niklowania części zdejmują się z uchwytów i poleruje nikiel celem otrzymania połysku. Polerowanie skuteczniejszą się na szcztokach i tarczach płóciennych za pomocą specjalnych past polerskich; wykończa się na sucho na tarczach z wapnem wiedeńskim. Dopolerować musimy do takiego połysku jaki chcemy mieć ostatecznie po chromowaniu. Chromowanie za-



Rys. 7.

zakładania i zdejmowania części, dobre, dokładnie przemyślane doprowadzenie prądu jednolitość warstwy niklu.

Przedmioty raz zamocowane na uchwycie idą z nim kolejno przez wszystkie wanny (wspólny gabaryt) zaczawszy od odtłuszczenia, a kończąc na suszeniu w trocinach.

Kolejność procesów wyszczególnionych powyżej zmienia się cokolwiek gdy pracujemy wg. szematów rys. 1 lub 2.

Dochodzą wtedy jeszcze dodatkowo wanny do miedziowania; po miedziowaniu przedmioty muszą być dokładnie oplókanie, aby nie zanieczyszczać miedzią kąpeli do niklowania.

Niektóre zakłady polerują przedmioty tylko częściowo, zaś wykończają polerowanie dopiero po miedziowaniu — ma to wobec miękkości miedzi ułatwiać polerowanie.

W tym wypadku po powtórnym polerowaniu, części muszą być znowu odtłuszczone (a nawet wobec łatwości utleniania miedzi poddane korozji

sadniczo połysku nie powinno zmieniać, a tylko jego kolor z lekko żółtawego na charakterystyczny niebieskawo.

Przed chromowaniem części powinny być wytarte do sucha z resztek past polerskich i dokładnie odtłuszczone (najlepiej elektrolitycznie).

Chromowanie, jak już pisałem, trwa 2,5—7,5 min. i daje warstwę grubości 0,0003—0,001 mm, błyszczącą i nie wymagającą polerowania. Po chromowaniu konieczne jest wypłókanie w zimnej bieżącej i gorącej wodzie.

O ile zauważymy matowe nierównomierne plamy i zacieki z wody, to usuwamy je przecierając lekko na tarczach płóciennych z wapnem wiedeńskim.

Wyraźne zmatowienie na kantach i częściach wystających jest dowodem, że albo amperaż, albo temperatura elektrolitu były niewłaściwe — sprawy te dotyczące już samych kąpeli do chromowania postaram się omówić w osobnym artykule.

PAPIERY ŚWIATŁOCZULÉ
MASZYNY ELEKTR. I APARATY
DO WYŚWIETLANIA
WŁASNEGO WYROBU

W. Skiba i A. Wyporek

Warszawa, Marszałkowska 71.

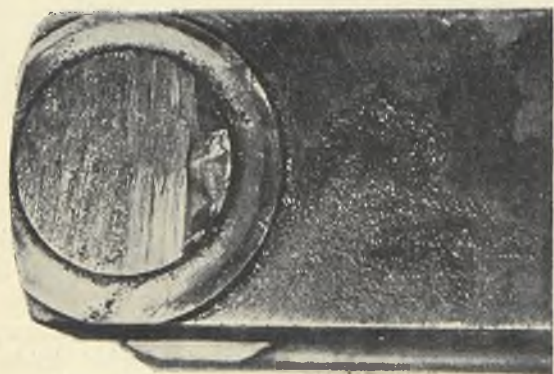
Tel. 835-66 i 841-23.

O pewnym przypadku przedwczesnego zniszczenia wału korbowego

Wał wykorbiony silnika samochodowego jest jedną z części, pracujących w nadzwyczaj trudnych warunkach. Dlatego też wszystkie fabryki, starając się zabezpieczyć silniki przed poważnymi defektami, dobierają na wały wykorbione wysokowartościowe stale chromoniklowe. Mimo to jednak często trafiają się wypadki uszkodzeń wałów wykorbionych, bez wyraźnych na pozór powodów. Jako przykład podaję poniżej wyniki badań w jednym z tego rodzaju przypadków.

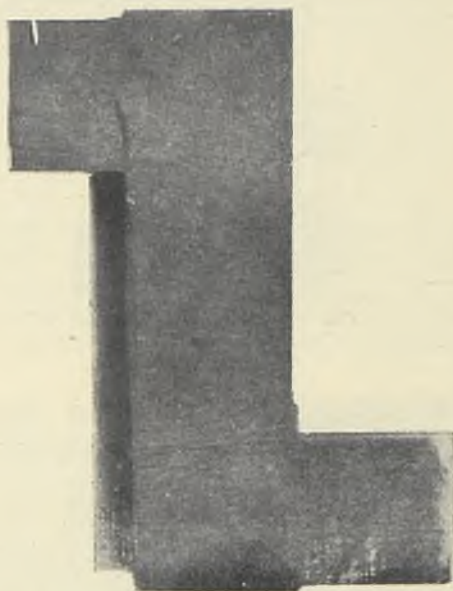
Wał korbowy pewnego samochodu, wyrobowanej konstrukcji, uległ przedwczesnemu pęknięciu na czopie korby pierwszego cylindra. Charakteru złomu nie można było ustalić z tego powodu, że uszkodzenie nastąpiło gwałtownie i zanim wyłączono silnik, zaklepać się miejsce złomu niemal zupełnie. Wyjęty z silnika wał korbowy poddano próbom w Laboratorium Fabryk Samochodów Państwowych Zakładów Inżynierji.

wet przestały ogrzewa się samoczynnie do około 60°C po upływie około 20 min. od chwili zanurzenia w nim przeznaczonych do trawienia stali. Jeżeli przyrządza się go bezpośrednio przed wytrawieniem, otrzymuje się wynik znacznie szybciej, wkładając stal do mieszaniny — $\text{HCl} + \text{HNO}_3$ i następnie dolewając H_2SO_4 . Odczynnik świeży ujawnia makrostrukturę w postaci reliefu, nawet w wypadku stali zaworowych, po upływie niespełna pół godziny. Wadą jego jest konieczność pracy w gumowych rękawiczkach i szybkiego ochł-



Rys. 1 Złom zmęczeniowy.

$\times \frac{1}{3}$



Traw. $\text{HCl} + \text{HNO}_3 + \text{H}_2\text{SO}_4$
Rys. 2. Przebieg włókien.

$\times \frac{1}{4}$

Podczas rozcinania wału korbowego celem dokonania prób, część wału odpadła, zanim piłka, przecięła cały przekrój czopa, wykazując poprzednie naderwanie. Miejsce naderwane pokazuje fot. 1. Wygląd przełomu nasunął podejrzenie, że wał uległ zniszczeniu na skutek zmęczenia. Resztę wału przejrano bardzo dokładnie, jednak na powierzchni czopów nie zauważono żadnych pęknięć, rys, czy ciemniejszych linii. Mimo tych oględzin natrafiono podczas dalszego rozcinania wału jeszcze dwukrotnie na naderwania i jak się później okazało, wszystkie czopy korbowe były naderwane od strony sprzęgłowej na głębokości 20—30% średnicy.

Dwa z pośród wykorbień wału przecięto, w sposób pokazany na fot. 2 i poddano badaniu mikroskopowemu. Korzystając z poprzednich doświadczeń użyto odczynnika, przygotowanego w następujący sposób: do 3-ch części technicznego dymiącego kwasu solnego dodaje się 3 części wody, następnie 1 część stężonego technicznego kwasu azotowego, jeszcze jedną część wody, a następnie ostrożnie (kipi i pryska), dolewa się 2 części technicznego kwasu siarkowego. Odczynnik ten na-

dzania przedmiotu trawionego po wyjęciu z kąpieli (parzy). Osad soli zmywa się natychmiast po wytrawieniu bardzo łatwo przy pomocy gałganka lub szczotki.

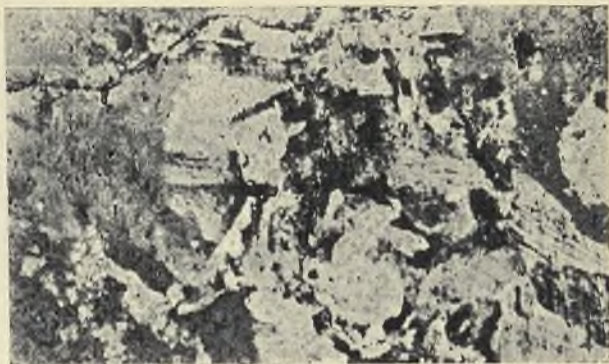
Wytrawienie przekroju czopa omawianego wału ujawniło głębokie pęknięcie, którego nie było widać na przekroju wypolerowanym papierem ściernym Nr. 1F (240 ziarn na cm^2). Przebieg włókien wykazuje, że wał korbowy został wycięty z płyty, a nie, jak to normalnie się stosuje, wygięty z pręta, a następnie wykończono go w matrycy (wygląd zewnętrzny). „Włókna“ biegną pod kątem nieco większym od prostego w stosunku do ramion korb, na skutek czego nie są równoległe do pobocznic czopa korbowego. Mimo chodem wypada zaznaczyć, że wylot rysy przypadła w obu przeciętych kolanach na punkt przekroju, odpowiadający punktowi przecięcia się „włókien“ z pobocznicą czopa. Obserwacja ta nasunęła wniosek, że prawidłowość miejsca naderwań może pozostawać w związku z przebiegiem włókien i zmęczeniem.

Badanie składu chemicznego wykazało skład zgodny z niemal zawsze używaną na wały korbo-

we stałą 3335 o nieco zmniejszonej zawartości węgla:

0,30 % C; 0,85 % Cr; 3,34 % Ni.

O ile skład chemiczny wykazał prawidłowość, o tyle badanie wytrzymałościowe osłabiło nieco wnioski, przypisujący zmęczenie wału przebiegowi włókien. Badanie własności wytrzymałościowych przeprowadzono na próbkach wyciętych z czopów (równoległe) i ramion (prostopadłe do włókien) wału korbowego. Otrzymane wyniki świadczą nietylko o zupełnie niestosowanej dla materiału 3335 (KT90) obróbce termicznej, ale zarówno o zupełnym braku kontroli materiałowej, choćby nawet prymitywnej (Brinell) w wytwórni, w której wał był obrabiany. Z pomiarów otrzymano wyniki następujące:



×450

Traw. pikr. sodu

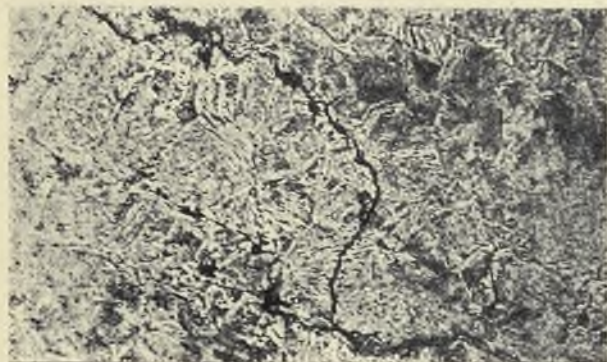
Rys. 4. Przebieg rysy.

	Wytrzymałość	Wydłużenie	Przewężenie	Udarność (Izod Φ)
Wpoprzek włókien:	$R_r = 77,7 \text{ kg/mm}^2$	$A_{l_0} = 6,0\%$	$C = 0,0\%$	$U_{Iz} = 3,46 \text{ kgm} - \text{ca}$ $\text{ca } 4,1 \text{ kgm/cm}^2$
Wzdłuż włókien:	$R_r = 79,6 \text{ kg/mm}^2$	$A_{l_0} = 10,3\%$	$C = 46,3\%$	$U_{Iz} = 3,86 \text{ kgm} - \text{ca}$ $\text{ca } 5,0 \text{ kgm/cm}^2$

Złom próbek izodowskich poprzecznych okazał się wybitnie warstwowym, zgodnie ze stwierdzonymi mikroskopowo grubymi włóknami. Tym grubym włóknem należy przypisać w dużej mierze złe własności mechaniczne wału, a zwłaszcza małe wydłużenie, przewężenie i do pewnego stopnia udarność w kierunku poprzecznym do włókien. Podniesienie tych ostatnich własności drogą obróbki termicznej stanowi zadanie bardzo trudne. Badanie mikroskopowe wykazało ostatecznie, że wał korbowy uległ zmęczeniu, a nie trudno udowodnić mikrograficznie, że rodzaj budowy war-

większeniu 450-krotnym. Na fotografii rzuca się w oczy węzowy przebieg rysy z rozwidleniem, ślepo zakończonym, oraz mała jej grubość, usprawiedliwiająca negatywny wynik wyżej wzmiankowanych oględzin zewnętrznych.

Powód ślepego zakończenia rozwidlenia rysy objaśnia wystarczająco mikrofotografia 4, przedstawiająca to samo miejsce wytrawiane zasadowym pikryniarem sodowym (×450). Pikrynian sodowy barwi na ciemno cementyt, wydzielony podczas odpuszczania w postaci bardzo drobnych koagulatów. W pasmach o dużej zawartości węgla wy-



×450

Traw. Kw. pikr.

Rys. 3. Przebieg rysy.



×100

Traw. pikr. sodu

Rys. 5. Budowa pasmowa.

stwowej wpłynął silnie na szybkie zmęczenie. W dalszych badaniach do wytrawienia próbek użyto jako odczynnika — pikrynianu sodowego, a to z tego powodu, że budowa sorbityczna, uwidoczniła przez kwas pikrynowy (lub azotowy) nie pozwala na jasne przedstawienie budowy pasmowej tworzywa, jak to pokazano na fot. 3 w po-

dziela się cementyt w większych ilościach i dzięki temu pikrynian sodowy barwi je ciemniej. Z mikrofotografji widać wyraźnie, że w punkcie urwania się jasnego pasma, siła natrafiła na silniejszy opór i stąd ślepe zakończenie jednego z rozwidleń i zmiana kierunku rysy drogą po mniej wytrzymałych, jaśniejszym wytrawionych pasmach uboższych

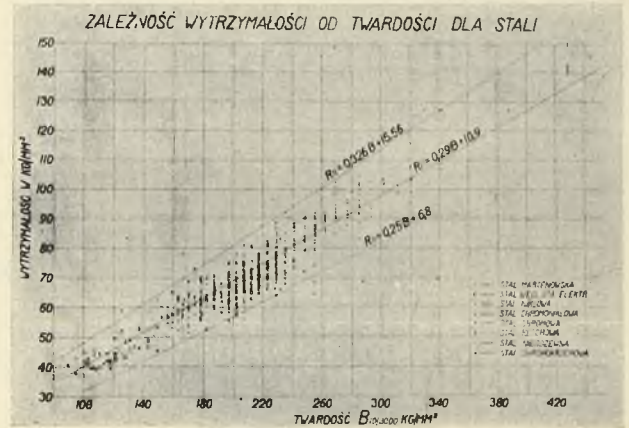
w węgiel. Rysa biegnie nie po granicach kryształów, a przez ich płaszczyzny przekroju, świadcząc o tem, że zniszczenie wału zawdzięczamy zmęczeniu, na które tworzywo o grubych niejednorodnych pasmach było bardziej podatne.

Gruba budowa pasmowa pozostaje w związku ze sposobem wyrobu wału korbowego, któremu pragnę parę słów poświęcić. By móc wyciąć wał trzeba było odkuć pod prasą, lub wywalcować (prawdopodobnie walcowano ją) płytę o przybliżonych wymiarach $260 \times 700 \times 80$ mm, a ciężarze około 115 kg., co łącznie z odpadkami na odcięcie głowy i stopy wlewka stalowego daje ciężar potrzebnego tworzywa na jeden wał około 140 kg. Płyty walcowano przypuszczalnie z wlewka 300 lub 560 kilogramowego. Przypuśćmy wypadek korzystniejszy dla własności tworzywa (stopień przeróbki), to znaczy walcowanie z wlewka 560 kg., którego wymiary wyniosłyby przypuszczalnie $240 \times 240 \times 1250$ mm. Stopień przeróbki ujęty jako stosunek przekrojów przedstawia liczba $\frac{240^2}{260 \cdot 80} = 2,76$. W wypadku walcowania pręta do gięcia wału korbowego, o przekroju pręta 80^2 , stosunek przeróbki wyrazi się liczbą $\frac{240^2}{80^2} = 9$.

Nawet w wypadku użycia wlewka zupełnie małego, bo 240 kg, o wymiarach: $160 \times 160 \times 1250$, stosunek przeróbki wyniosłoby: $\frac{160^2}{80^2} = 4$, przyczem do przeróbki pręta dochodzi jeszcze działanie kucia podczas wyginania wału, połączonego z formowaniem do kucia w tłoczydle.

Już to co wyżej powiedziano przemawia przeciw używaniu wałów wycinanych z płyt. Jednakowoż do walcowania prętów huta może użyć z powodzeniem wlewków 240 kg. W warunkach europejskich i nawet amerykańskich stal chromoniklową rzadko wytapia się w piecach o pojemności ponad 6 ton. Piece o pojemności 6 ton pozwalają z łatwością odlać syfonowo 3 komplety po 8 wlewków 240 kg. Wynika z tego, że często możemy pręty na wały korbowe otrzymywać takie, że stopień ich przeróbki jest zaledwie o 66% wyższy od stopnia przeróbki płyty. Tu znów wypada nam zwrócić uwagę na obserwację, dotyczącą punktu początku rys zmęczeniowych. Własności mechaniczne, a zwłaszcza wytrzymałość wału korbowego jest tylko o 15% niższą od przeciętnie wymaganej, zatem mieści się w granicach obliczenia z ogólnie przyjętym współczynnikiem bezpieczeństwa. Powodu zmęczenia należy więc (ze względu na dobre doświadczenia z innymi silnikami o wałach inaczej kutyh lecz tej

samej konstrukcji) szukać gdzieindziej. Wobec zachwiania przypuszczeń co do wpływu samego tylko stopnia przeróbki, należy szukać przyczyny zmęczenia w niejednorodności pierwotnej wlewka i niekorzystnym, ukośnym do osi czopów, układzie włókien. Przemawia za tem i to, że wszystkie pęknięcia powstały w tych punktach, gdzie obciążenie dążyło do rozdzielenia włókien przez rozzerwanie na skutek gięcia.



Rys. 6. Wyniki porównania twardości z wytrzymałością.

Pozostają jedynie do wyciągnięcia wnioski w sprawie odbioru wałów wykorbionych. Powinny one być bezwzględnie poddawane badaniu makroskopowemu, polegającemu na przypadkowym wybraniu przynajmniej jednej sztuki z partji do przecięcia. Wytrawienie wału z zewnątrz pozwala na wyciągnięcie ogólnych wniosków co do sposobu wyrobu, wymaga jednakowoż o około $1\frac{1}{2}$ mm większego naddatku na obróbkę. Wały korbowe powinny mieć nadatki przynajmniej na kilku wałach w jednej razem kutej i obrabianej termicznie partji. Nadatki powinny pozwolić na pobranie prób wytrzymałościowych, a conajmniej mikroskopowych. Fot. 5 przedstawia budowę pasmową omawianego wału w powiększeniu 100-krotnym, wytrawioną pikrynianem sodowym, a jedna już taka obserwacja wystarczyłaby, by podczas odbioru zwrócić uwagę na dostarczone tworzywo i zaryzykować zniszczenie wału celem przeprowadzenia szczegółowych prób.

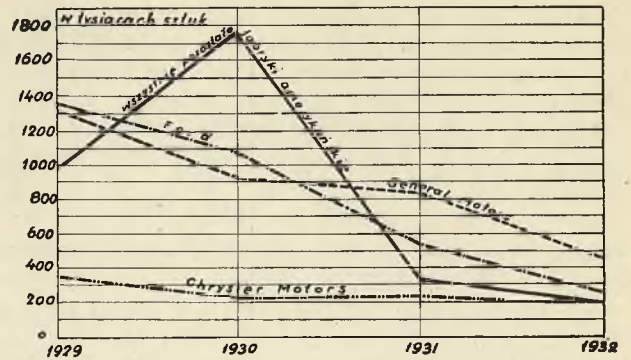
Stosowanie pomiarów twardości wystarcza, by sprawdzić, czy wszystkie wały z jednej partji są do siebie wytrzymałościowo podobne. Wnioski natomiast co do wytrzymałości na rozzerwanie są na podstawie badań twardości zupełnie niepewne, jak to wykazuje wykres fig. 6, zdjęty jako statystyka z 1000 prób.

Co mówią cyfry...

Z suchych cyfr statystyki samochodowej za rok ubiegły, zestawionej na podstawie danych amerykańskich, można wyciągnąć bardzo ciekawe wnioski dotyczące przeżywanego kryzysu przez światowy przemysł samochodowy z jednej strony, a z drugiej można zorientować się w tendencjach i kierunkach, w jakich przemysł podąża.

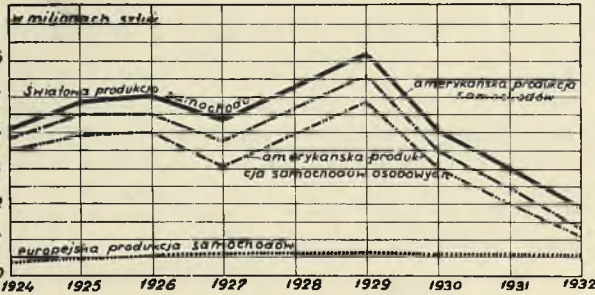
Z załączonego wykresu widać jasno, jak przeżywany obecnie kryzys odbił się katastrofalnie na przemyśle samochodowym. Z ilości przeszło 6 milionów samochodów, produkowanych w roku 1929, światowa produkcja spadła do niecałych 2 milionów w roku ubiegłym. Dla Ameryki jest to tem tragiczniejsze, iż spadek produkcji odbywa

się wyłącznie kosztem jej wytwórni, a produkcja europejska, chociaż jak dotychczas stanowiąca niewielki procent w produkcji światowej, nie ponosi żadnych strat. Przeciwnie nawet, jak wykazują krzywe wykresu, powoli, mimo nawet przeżywanego kryzysu, wzrasta. Coprawda krzywa produkcji europejskiej nie wykazuje na wykresie za ostatni rok podniesienia, jednak jest to przyczyną tego, iż w amerykańskich zestawie-



Sprzedaż samochodów na rynku amerykańskim.

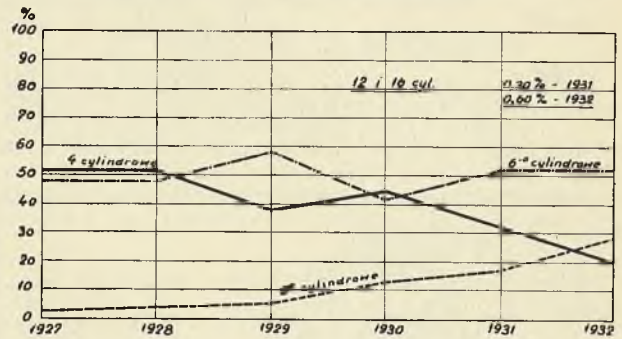
i Oldsmobile (47920), prawie w równych ilościach. Na trzecim miejscu z produkcją 191.125 sztuk roczną ułożył się Chrysler Motors, którego główny przedmiot produkcji stanowią obecnie wozy Plymouth z ilością 111.755 sztuk.



Światowa produkcja samochodów.

niach w roku 1932 zostały z produkcji europejskiej wydzielone samochody pochodzenia amerykańskiego, montowane w Europie, gdy w poprzednich latach były do niej wliczane.

Przechodząc do przeglądu amerykańskiej produkcji samochodowej należy stwierdzić porażkę bezapelacyjną Forda. Palma pierwszeństwa pod względem ilości produkowanych wozów przeszła już w roku 1931 w ręce General Motors, rok zaś 1932 tylko to stanowisko zdecydowanie utrwalił. W produkcji wozów General Motors dominująca



Podział samochodów w/g ilości cylindrów.

ZESTAWIENIE ILOŚCI SAMOCHODÓW W POSZCZEGÓLNYCH KRAJACH.

	Ogólna ilość samochodów	Ilość samochodów			motoc.	Ilość mieszkańców na 1 samochód
		osobowych	ciężarowych	Autobusów		
Stany Zjednoczone A. P.	24.373.979	21.173.698	3.131.269	69.012	96.153	4,35
Wielka Brytania	1.493.474	1.060.889	360.195	72.390	434.399	31,2
Francja	1.710.955	1.273.088	437.867	488.147	23,3
Niemcy	659.532	458.228	152.430	11.274	819.178	99
Włochy	301.533	214.975	77.457	9.101	98.471	130
Belgia	15.0000	95.000	55.000	45.000	50
Holandja	136.100	84.500	47.600	3.700	33.800	56
Szwajcaria	90.100	69.750	19.800	550	47.300	44
Czechosłowacja	85.500	54.000	26.500	5.000	40.000	158
SSSR (Rosj)	60.324	15.212	42.914	2.198	5.692	2.300
Rumunja	37.500	27.250	8.200	2.050	2.050	450
Polska	27.369	19.006	5.544	2.819	8.201	1.110
Austria	28.100	14.900	13.200	29.800	228
Łotwa	3.234	1.795	1.184	255	1.669	590
Litwa	2.370	1.450	550	370	1.200	920

pozycję stanowił w roku ubiegłym, tak zresztą jak i poprzednich lat, Chevrolet, wyrażającą się cyfrą 322690 wozów. Następnie idą Buick (49700)

Reszta fabryk samochodowych została ze swą produkcją, wynoszącą razem 382.455 wozów, znacznie w tyle za temi trzema czołowymi kon-

cernami i walczą z ciągłymi trudnościami finansowymi, tembardziej, iż znacznie większe ponoszą one procentowo straty, niż wielkie koncerny. Dość przytoczyć jako przykład koncern Willys-Overland, którego produkcja 206.700 z roku 1929 spadła w roku ubiegłym do 25.895 sztuk, czyli do 12,5%.

Summaryczna produkcja amerykańska wozów osobowych z 4 milionów w roku 1929 spadła w roku ubiegłym do jednego miliona.

Szczególnie jasno uwydatnia się tragedia przemysłu amerykańskiego, gdy przyjrzymy się cyfrom eksportu zagranicznego, który od roku 1931 wykazuje wprost katastrofalny spadek w porównaniu z latami ubiegłymi.

Ciekawem jest również, iż z sumy 16.306 wozów, wywiezionych do Europy w roku ubiegłym, 86% przypada na wozy tanie, których cena nie przekracza 850 dolarów.

Eksport amerykańskich samochodów osobowych w ostatnich 2-ach latach				
Dokąd	Suma ogólna w r. 1931.		Suma ogólna w r. 1932.	
	Ilość wozów	za sumę \$	Ilość wozów	za sumę \$
Europa . . .	33369	20.735.590	16.306	9.789.524
Azja	15567	8.884.736	8.509	5.132.460
Afryka . . .	10125	6.072.909	5.137	2.980.533
Oceania . .	1340	439.995	2.741	815.360

Mimo jednak pomyślnego, jak na bieżące czasy, rozwoju europejskiego przemysłu samochodowego, Europa posiada jeszcze znikomą w stosunku do Ameryki ilość samochodów wynoszącą 5.498 tys. gdy same Stany Zjednoczone A. P. posiadają 24.373 tys. samochodów. S.

KRONIKA ZAGRANICZNA

Nowe 8-cylindrowe Fordy rowiąją prędkość około 130 klm/godz. Fabryka przygotowuje nowy model 8-cylindrowy o mniejszym litrażu. Ford zniszczył do tej pory 75000 starych maszyn swej marki w specjalnych zakładach i ma zamiar zwiększyć intensywność tej akcji „niszczyielskiej“ wykupując wszystkie stare Fordy po... 20 dolarów. Będą one prasowane na „brykiety“ o wymiarach $1,8 \times 0,75 \times 0,5$ m i przetapiane.

Podług nowego prawa francuskiego, samochody stare, liczące więcej niż 9 lat mogą korzystać z 50% ulgi w opłacie taksy rocznej. Jednak ulgę tę może uzyskać tylko właściciel conajwyżej dwóch pojazdów. Gdy ktoś posiada więcej niż dwa pojazdy, nie może korzystać z żadnych ulg. Ponadto obniżono o 30% opłaty od samochodów wyposażonych w silniki Diesla.

W przeciągu ostatnich 9-ciu lat podwoiła się przeszłość Dieslałów w Niemczech z 1833 na 3924. sztuki.

Firma Renault poddała swoje nowe modele oficjalnym 6-cio godzinnym próbom szybkości na torze Montlhery, uzyskując w każdym wypadku powyżej 100 klm/godz.:

Model Monaquatre 4 cyl, 8 CV — powyżej 100 klm/godz.
 „ Primaquatre 4 cyl, 11 CV — „ 110 „
 „ Primastella 6 cyl, — „ 124 „
 „ Nervasport 8 cyl, — „ 154 „

Próby były czynione w deszczowy i wietrzny dzień z pojazdami seryjnymi skarosowanymi jako „coudites interieures“, a więc stawiającymi znacznie większy opór powietrzu niż torpeda.

W Niemczech uzyskano szkło o takim składzie chemicznym, który wykazuje duże zalety optyczne. Mianowicie wyciąga kontrasty pomiędzy zbliżonymi kolorami, ułatwiając odróżnianie ich nawet ludziom o skłonnościach do daltonizmu.

W marcowym numerze „Motoru“ niemieckiego jest przedstawiony nowy typ opony „przeciwślizgowej“. Nawierzchnia jest usiana wgłębieniami w kształcie naparstka, którymi opona przywiera do jezdni, utrudniając ewent. poślizg. Chodzi tu głównie o poślizg poprzeczny. Nawet podczas jazdy po śniegu, wgłębienia nie ulegają podobno

zatkaniu. Również pomiary zużycia paliwa nie wykazały żadnego przyrostu po założeniu tych opon na koła, czego oczekiwała krytyka.

Obwód każdego wgłębienia jest otoczony dość wąskim nadlewkiem, który ma za zadanie przecinać warstewkę szlamu, jaki się tworzy na powierzchni wilgotnego asfaltu. Nawierzchnia opony ma w ten sposób przywierać bezpośrednio do czystego asfaltu, odznaczającego się w stanie niezabrudzonym, znacznym współczynnikiem tarcia = 0,6 — 0,7.

Przy okazji wypadła nadmienić, że w kierunku uodpornienia opon na poślizg czyniono już niejednokrotnie wysiłki, zarówno przez odpowiednie deseniowanie protektora, jak też przez odpowiedni dobór jego materiału. Mianowicie w nawierzchni gumy znajdowały się cząsteczki ciał stałych, które w miarę zużywania się nawierzchni wypadały a powstałe w ten sposób wgłębienia działały podobnie jak wgłębienia naparstkowe w wyżej opisanej oponie.

KRONIKA KOŁA SAMOCHODOWEGO

Dnia 30 marca b. r. odbyło się Nadzwyczajne Walne Zebranie Koła Samochodowego i Koła Lotniczego, na którym uchwalono połączenie obu kół pod wspólną nazwą: „Koło Samochodowo-Lotnicze przy Stow. Techników Polskich w Warszawie“. Akt ten jest uwieńczeniem ożywionej działalności Koła Samochodowego, które poza zagadnieniami samochodowymi interesowało się żywo i lotnictwem, czego dowodem było zagadnienie sekcji szybowcowej i szeregu odczytów z dziedziny lotnictwa i szybownictwa.

Obecnie Zarząd Koła pracuje gorliwie nad zorganizowaniem pierwszego zjazdu Inżynierów Samochodowych, który odbędzie się w ramach zjazdu S. I. M. P. Licznie nadesłane referaty na zjazd są obecnie kwalifikowane przez specjalną Komisję Koła. Zgłoszenia na zjazd (26 — 28 maja r. b.) przyjmuje sekretariat Koła. Komisja Wycieczkowa Koła projektuje urządzenie w dniach 2 — 29 lipca r. b. wycieczki zagranicznej autobusami „Polski Saurer“ do Neapolu. Cała trasa wynosząca prawie 5500 km została już dokładnie opracowana i zainteresowani znajdują ją w załączonej mapce.

Wszystkim członkom Koła Samochodowo-Lotniczego podajemy do wiadomości, iż na Walnem Zebraniu w dniu 30.III. r. b. został uchwalony przymus prenumeraty „Techniki Samochodowej“.

Warunki prenumeraty: rocznie 10 zł; półrocznie 5 zł. Prenumeratę należy wpłacać do PKO na konto Koła Samochodowego Nr 10770, zaznaczając na blankiecie wpłatowym: Prenumerata „Techniki Samochodowej“.

Redakcja i Administracja „Techniki Samochodowej“: Warszawa, ul. Czackiego 3/5 (Stowarzyszenie Techników) czynna we wtorki, czwartki i soboty w godz. 18—20.